

川崎製鉄技報  
KAWASAKI STEEL GIHO  
Vol.2 (1970) No.2

橋梁用厚板耐候性高張力鋼の溶接施工法試験

Experiments on the Welding Properties and Processes of Atmospheric Corrosion Resisting High Strength Steel

大庭 浩(Hirosi Oba) 高野 哲郎(Tetsuro Takano)

要旨：

耐候性鋼材を用いて溶接構造物を製作する場合には、使用鋼材の溶接性や溶接施工法について十分検討する必要がある。本研究は、引張強さが 41, 50 および 60kg/mm<sup>2</sup> 級の耐候性鋼 RIVER TEN を用いて、その使用性能ならびに工作性を確認するため、つぎの項目について試験を行なった。(1)溶接最高硬さ試験 (2)溶接割れ感受性試験、溶接ビード曲げ試験 y型溶接割れ試験 仮付溶接割れ試験 (3)溶接継手性能試験、標準条件溶接継手性能試験 突合せ溶接継手性能試験 十字型溶接継手性能試験 (4)すみ肉施工試験 (5)交差部継手模型試験 以上の諸試験の結果供試鋼材はいずれも溶接構造用鋼と同等の溶接性を有することがわかった。また溶接施工に対するいくつかの指針が得られた。

Synopsis :

In case of using atmospheric corrosion resisting steel for steel structure, it is essential to closely investigate the steel's welding properties and the welding processes. This paper treats the results of various tests listed below, which were conducted on the specimen plates taken from the atmospheric corrosion resisting steel RIVER TEN of 41, 50 and 60 kg/mm<sup>2</sup> class high tensile strength respectively, in order to confirm their weldability and workability. (1) Maximum hardening test of weld parts (2) Weld ductility tests (Bead bend test, Y-type restraint cracking test, Cracking test) (3) Weld joint tests (Standard weld joint test, Butt weld joint test, Cross-weld joint test) (4) Fillet weld joint test (5) Weld joint model test. The above tests showed that the RIVER TEN atmospheric corrosion resisting steels were fully qualified as weldable structural steels, as they possessed all the specified properties of JIS G 3106 "Rolled Steel for Welded Structure". The tests also gave us several important clues to the welding processes for steel structures.

(c)JFE Steel Corporation, 2003

## 橋梁用厚板耐候性高張力鋼の溶接施工法試験

Experiments on the Welding Properties and Processes of  
Atmospheric Corrosion Resisting High Strength Steel

大庭 浩\* 高野 哲郎\*\*  
Hirosi Oba Tetsuro Takano

### Synopsis :

In case of using atmospheric corrosion resisting steel for steel structure, it is essential to closely investigate the steel's welding properties and the welding processes.

This paper treats the results of various tests listed below, which were conducted on the specimen plates taken from the atmospheric corrosion resisting steel RIVER TEN of 41, 50 and 60 kg/mm<sup>2</sup> class high tensile strength respectively, in order to confirm their weldability and workability.

- (1) Maximum hardening test of weld parts
- (2) Weld ductility tests
  - Bead bend test
  - Y-type restraint cracking test
  - Cracking test
- (3) Weld joint tests
  - Standard weld joint test
  - Butt weld joint test
  - Cross-weld joint test
- (4) Fillet weld joint test
- (5) Weld joint model test

The above tests showed that the RIVER TEN atmospheric corrosion resisting steels were fully qualified as weldable structural steels, as they possessed all the specified properties of JIS G 3106 "Rolled Steel for Welded Structure." The tests also gave us several important clues to the welding processes for steel structures.

### 1. 緒 言

鋼橋における耐候性鋼材の普及は数年来、著しいものがあり、昭和43年4月、JIS規格において「溶接構造用耐候性熱間圧延鋼材」規格の制定を

みるにおよんで、さらに新時代を迎えたと考えられ、しだいに大型かつ重要な構造部に適用されることが多くなった。しかし耐候性高張力鋼は、溶接構造用圧延鋼材に比べて、C当量がやや高くなる傾向があり、また耐候性向上のために、Cu, Cr その他の合金成分が添加されているので、そ

\* 川崎重工業株式会社野川工場次長兼工作部長

\*\* 神戸鋼材技術室 課長

の使用にあたっては、溶接性を中心とした十分な検討が必要である。

本研究においては、耐候性も満足する一面、Cu, Crなどの化学成分およびC当量を中心とした溶接性に関連する条件を十分に吟味した鋼材仕様にしたがって製造された供試鋼材を用いて、その使用性能ならびに工作性を確認するとともに、施工上の各種の問題点を回避する限界条件を明らかにするために実験した。

また、昭和43年6月、日本道路協会で制定した「溶接鋼道路橋のための材料試験および溶接施工試験要領書」および昭和42年11月発表された「尾道大橋製作仕様書(案)」などに盛られた従来の一般的な溶接性検討の主旨はもちろんのこと下記のような種々の問題点にも対処するよう考慮した。

- (1) 橋梁の大型化に対応するため、厚板かつ高強度の供試鋼(SMA58Q t=50mm)を主体として材質強度および切欠靱性の分布について調査した。
- (2) ラーメン構造への適用のため、板厚方向強度特性試験、十字継手性能試験などを実施した。
- (3) 仮付を主とした小入熱条件における割れ試験を行ない、適用溶接棒とその使用条件の限界を明らかにした。
- (4) 厚板における高能率化を考慮し、サブマージアーク溶接ならびにエレクトロスラグ溶接の適用を試みた。

その他数多くの試験を行なったが、本報告はその中の代表的な試験項目を抜粋したものである。

なお、たまたま本試験と相前後して、わが国最大級の神戸新埠頭連絡橋(神戸大橋)が施工されることとなり、これに本実験用鋼材に準じた仕様による厚板高張力鋼が多量に使用されることとなり、この試験成果を十分に収入れることができることは偉大といふべきであり、その実績と相まって、今後の長大橋などこの種構造物に対する十分

表 1 供試鋼板の化学成分および炭素当量の仕様(レーテル、%)

品種	Pb	C	Si	Mn	P	S	Ceq	Ni	Ti	Mo	Nb	V	Zr
SMA58Q	0.01	0.16	0.35	1.30	0.015	0.035	0.41	—	—	—	—	0.41	—
38	0.01	0.16	0.35	1.40	0.019	0.035	0.45	—	—	—	—	0.45	—
25	0.01	0.16	0.35	1.40	0.017	0.033	0.40	—	—	—	—	0.40	—
SM45C	0.01	0.16	0.35	1.40	0.011	0.033	0.36	—	—	—	—	0.36	—
SMA50B	0.01	0.16	0.35	1.40	0.013	0.033	0.40	—	—	—	—	0.40	—
50	0.01	0.16	0.35	1.40	0.014	0.033	0.42	—	—	—	—	0.42	—
SMA41C	0.01	0.17	0.35	1.40	0.013	0.033	0.39	—	—	—	—	0.38	—
SS41	0.01	0.17	—	—	0.011	0.033	0.38	—	—	—	—	0.38	—

注: (1) 炭素当量の算出式は次式による。

$$C_{eq} = C + \frac{Mn}{6} + \frac{Si}{24} + \frac{Cr}{5} - \frac{Ni}{30} - \frac{Mo}{4} - \frac{V}{14}$$

(2) 供試鋼材としては、上記表におけるCeqの上限値を目指した鋼板を試作する。

(3) SMA50およびSMA58については、Nb, V, Ni, Ti, Mo, Zrの内の二種類以上を添加する。

半: 板厚は試験板厚を示す。

表 2 供試鋼板の機械的性質の仕様

品種	引張り降伏点		屈筋強度		曲げ試験		引張り・衝撃試験	
	引張り降伏点 mm	[kg/mm <sup>2</sup> ]	屈筋強度 mm	[kg/mm <sup>2</sup> ]	試験荷重 t	曲げ 曲げ半径 mm	試験荷重 t	吸収エネルギー J/cm <sup>2</sup>
SMA58Q	50	244	38~58	7	1号: >20	1号: 120	1号: 1.0	54.8
38	246	—	—	—	—	—	—	—
25	—	—	—	—	—	—	—	—
SM45C	50	234	40~60	2	2号: >21	—	—	6.7
38	236	—	—	—	2号: >13	—	—	32.8
25	—	—	—	—	—	—	—	—
SMA50B	50	222	—	—	1号: >21	—	—	24.8
38	224	41~52	1号: >21	—	—	1.0	—	—
25	—	—	—	—	—	1.5	—	—
耐候性SS41	22	—	—	—	—	—	—	—

注: (1) 38, 41, 50, 58, 73mmからの範囲を標準とする。 (2) 41.8~45.0, 50~52mmからの範囲を標準とする。

表 3 供試鋼板の製造履歴

品種	路線	板厚mm	製造場所	製造年	方法	熟处理
SMA58Q	RIVER TEN 58	50	千葉製鉄所	1961	半加	4段厚板圧延機 焼入、焼成
		38	—	—	—	—
		25	—	—	—	—
SM45C	RIVER TEN 50	50	—	—	—	—
		38	—	—	—	—
SMA41C	RIVER TEN 41	50	水島製鉄所	1961	D板か	4段厚板圧延機 焼成のみ
		38	—	—	—	—
SMA41C	RIVER TEN 41	25	—	—	—	—
耐候性SS41	RIVER TEN 41	22	—	—	—	—

な準備資料を提供し得るものと考えられる。

## 2. 供試鋼板の製作

耐候性SS41(t=22mm), SMA41C(t=50mm), SMA50B(t=25, 38mm)は水島製鉄所で、 SMA50C(t=50mm), SMA58Q(t=25, 38, 50mm)は千葉製鉄所でそれぞれ分担して製作した。

供試鋼板の化学成分の仕様を表1に機械的性質の仕様を表2に、製造履歴を表3に示す。なお、 SMA58Qの化学成分については特に試験的に仕様の上限をねらった。

### 3. 試験方法および試験結果

#### 3.1 母材試験

母材の外観および内部検査の結果は何等欠陥は

認められず、また非金属介在物試験でもきわめて清浄度が高く健全な鋼材であった。供試材の化学成分を表4に、顕微鏡組織を写真1に示す。

#### (1) 引張試験

試験片は鋼板の圧延方向(X方向)とそれに直

表4 供試鋼板の化学成分

鋼種	板厚	分析	C	Si	Mn	P	S	Ca	Ni	Cr	Mo	V	Nb	Al	Ceq
SMA58Q	50	取鍋	0.14	0.47	0.93	0.014	0.010	0.23	0.40	0.35	0.09	0.049	0.016	0.027	0.421
		照合	0.14	0.47	0.92	0.015	0.009	0.23	0.38	0.33	0.082	0.046	0.019	0.035	0.413
SMA58Q	38	取鍋	0.14	0.45	0.93	0.011	0.008	0.25	0.41	0.34	0.12	0.029	0.018	0.022	0.424
		照合	0.14	0.44	0.94	0.012	0.008	0.25	0.41	0.33	0.165	0.022	0.021	0.027	0.419
SMA58Q	25	取鍋	0.13	0.38	0.96	0.019	0.007	0.23	0.29	0.36	0.11	0.030	0.019	0.026	0.415
		照合	0.14	0.39	0.99	0.021	0.009	0.24	0.27	0.35	0.100	0.032	0.023	0.031	0.425
SMA50C	50	取鍋	0.13	0.46	1.07	0.011	0.007	0.29	0.17	0.35	0.03	—	0.017	0.029	0.409
		照合	0.13	0.49	1.09	0.011	0.008	0.28	0.25	0.34	0.016	0.002	0.016	0.034	0.408
SMA50B	38	取鍋	0.13	0.42	0.95	0.009	0.007	0.22	0.29	0.36	—	—	0.014	0.024	0.385
		照合	0.14	0.45	0.97	0.010	0.007	0.22	0.21	0.33	—	—	0.013	0.031	0.395
SMA50B	25	取鍋	0.13	0.42	0.95	0.009	0.007	0.22	0.29	0.56	—	—	0.014	0.024	0.385
		照合	0.14	0.44	0.96	0.010	0.006	0.22	0.30	0.36	—	—	0.013	0.031	0.398
SMA41C	50	取鍋	0.12	0.02	0.87	0.009	0.017	0.24	0.15	0.33	—	—	—	—	0.336
		照合	0.13	0.02	0.89	0.009	0.017	0.26	0.16	0.35	—	—	(tr)	(0.002)	0.353
耐候性SS41	22	取鍋	0.16	0.03	0.82	0.009	0.021	0.25	(0.01)	(0.01)	—	—	—	—	0.300
		照合	0.17	0.03	0.88	0.009	0.021	0.25	(0.02)	(0.01)	—	—	(tr)	(0.001)	0.321

注1 Ceq = C + Mn / 6 + Si / 24 + Ni / 40 + Cr / 5 + Mo / 4 + V / 14

注2 ( ) 内の分析値は特に合金元素として添加したものではない。

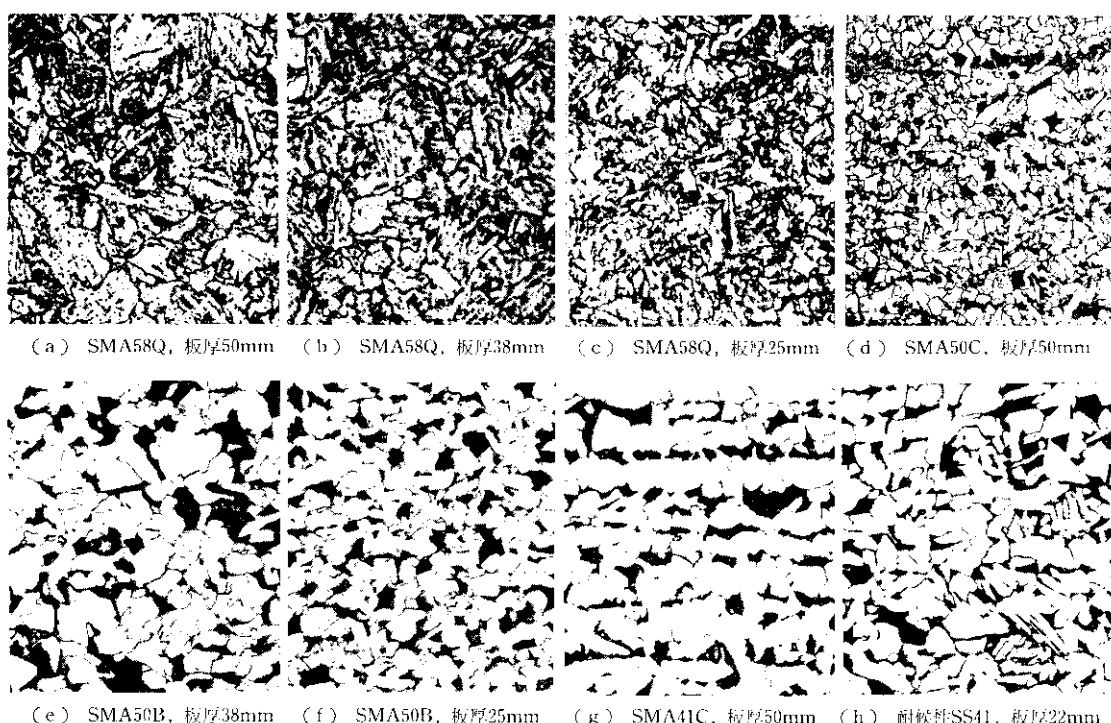


写真1 供試鋼板の顕微鏡組織

角方向(Y方向)の場合はJIS Z2201(金属材料引張試験片)による1号または4号試験片を用い、4号試験片は板厚の1/4部から採取した。板厚方向(Z方向)の場合に図1に示す長ゲージおよび短ゲージの試験片を用いた。試験はいずれの試験片の場合もJIS Z2241(金属材料引張試験方法)にもとづいて行なった。

試験結果は、表5(a), (b)に示したように、どの供試材についてもX, Y方向にかかわらず規格値を十分満足しており、またZ方向の引張強さおよび降伏点もX, Y方向と大差ない良好な値を示した。

## (2) 曲げ試験

曲げ試験はJIS Z2204(金属材料曲げ試験片)による1号試験片(試験片幅35mm)を用い、JIS Z2248(曲げ試験方法)の押曲げ法にもとづいて行なった。試験条件は各鋼板規格にもとづき、SMA41C内側曲げ半径R=1.0t(t=板厚)

表5(a) 母材引張および曲げ試験結果

鋼種	板厚 mm	引張試験				曲げ試験 R=1.0t
		X 方向	Y 方向	Z 方向	試験片 No.	
規格	SMA58Q 50	43.0	43.0	40.0	JIS4号	
		23.4	28.7	27.0	JIS4号	
		35.0	36.9	30.1	67	真好
		39.0	36.8	31.1	87	良好
		36.7	37.1	29.1	83	良好
	SMA58Q 38	43.0	43.0	40.0	JIS4号	
		23.4	28.7	27.0	JIS4号	
		35.0	36.6	31.2	67	真好
		39.0	36.6	31.2	87	良好
		36.7	36.6	29.1	83	良好
規格	SMA58Q 36	43.0	43.0	40.0	JIS4号	
		23.4	28.7	27.0	JIS4号	
		35.0	36.5	31.1	67	真好
		39.0	36.5	31.1	87	良好
		36.7	36.5	29.1	83	良好
	SMA58Q 29	43.0	43.0	40.0	JIS4号	
		23.4	28.7	27.0	JIS4号	
		35.0	36.3	31.1	67	真好
		39.0	36.3	31.1	87	良好
		36.7	36.3	29.1	83	良好
規格	SMA58Q 24	43.0	43.0	40.0	JIS4号	
		23.4	28.7	27.0	JIS4号	
		35.0	36.2	31.1	67	真好
		39.0	36.2	31.1	87	良好
		36.7	36.2	29.1	83	良好
	SMA58Q 24	43.0	43.0	40.0	JIS4号	
		23.4	28.7	27.0	JIS4号	
		35.0	36.2	31.1	67	真好
		39.0	36.2	31.1	87	良好
		36.7	36.2	29.1	83	良好

れず良い成績を示している。

### (3) 衝撃試験

JIS Z2202(金属材料衝撃試験片)による4号試験片(2mmVノッチ)を用い、JIS Z2242(金属材料衝撃試験方法)に基づいて試験した。なお、試験片の採取位置は図2に示したように、XおよびY方向の場合は板厚の $\frac{1}{4}$ 部および $\frac{1}{2}$ 部、Z方向の場合には、各鋼種とも、板厚の $\frac{1}{4}$ 部から採取した。

試験結果を表6に、板厚50mmのSMA 58Q、SMA 50CおよびSMA 41Cの遷移曲線を図3(a), (b), (c)に示す。試験の結果はいずれの鋼種についても、X、Y方向とも規格値を十分満足している。板厚の $\frac{1}{4}$ 部と $\frac{1}{2}$ 部では切欠靶性は大差ないが、X方向の切欠靶性がY方向よりかなり良いのは、圧延比の影響による

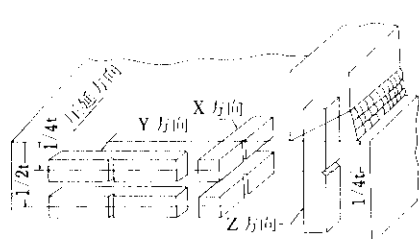
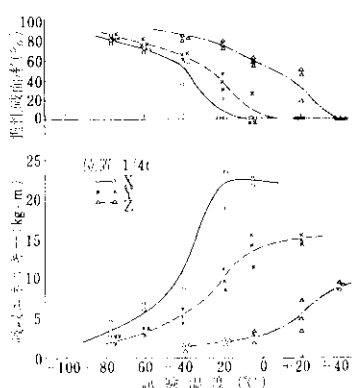
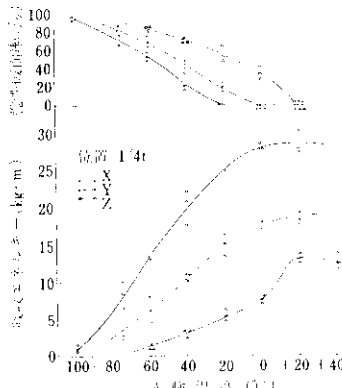


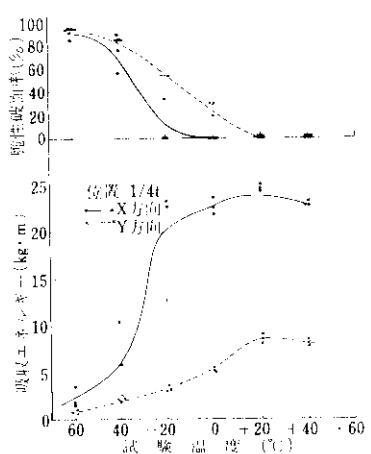
図2 母材衝撲試験片採取図



(a) SMA58Q, 板厚50mm



(b) SMA50C, 板厚50mm



(c) SMA41C, 板厚50mm

図3 母材2mmVノッチシャルビー衝撲試験結果

表6 母材2mmVノッチシャルビー衝撲試験結果

鋼種	板厚 mm	規格	X 方向	Y 方向	Z 方向	試験 温度 (°C)	吸 収 能 量 (kgf·cm)	吸 収 能 量 (kgf·cm)	吸 収 能 量 (kgf·cm)	試験 温度 (°C)
SMA58Q	40	規格	1.8	1.8	1.8	-100	21.3	21.3	21.3	-100
SMA58Q	40	規格	1.8	1.8	1.8	-70	22.0	20.3	20.3	-70
SMA58Q	40	規格	1.8	1.8	1.8	-40	21.3	20.3	20.3	-40
SMA58Q	40	規格	1.8	1.8	1.8	0	21.3	20.3	20.3	0
SMA58Q	40	規格	1.8	1.8	1.8	20	21.3	20.3	20.3	20
SMA58Q	40	規格	1.8	1.8	1.8	40	21.3	20.3	20.3	40
SMA58Q	40	規格	1.8	1.8	1.8	60	21.3	20.3	20.3	60
SMA58Q	40	規格	1.8	1.8	1.8	80	21.3	20.3	20.3	80
SMA58Q	40	規格	1.8	1.8	1.8	100	21.3	20.3	20.3	100
SMA58Q	40	規格	1.8	1.8	1.8	120	21.3	20.3	20.3	120
SMA58Q	40	規格	1.8	1.8	1.8	140	21.3	20.3	20.3	140
SMA58Q	40	規格	1.8	1.8	1.8	160	21.3	20.3	20.3	160
SMA58Q	40	規格	1.8	1.8	1.8	180	21.3	20.3	20.3	180
SMA58Q	40	規格	1.8	1.8	1.8	200	21.3	20.3	20.3	200
SMA58Q	40	規格	1.8	1.8	1.8	220	21.3	20.3	20.3	220
SMA58Q	40	規格	1.8	1.8	1.8	240	21.3	20.3	20.3	240
SMA58Q	40	規格	1.8	1.8	1.8	260	21.3	20.3	20.3	260
SMA58Q	40	規格	1.8	1.8	1.8	280	21.3	20.3	20.3	280
SMA58Q	40	規格	1.8	1.8	1.8	300	21.3	20.3	20.3	300
SMA58Q	40	規格	1.8	1.8	1.8	320	21.3	20.3	20.3	320
SMA58Q	40	規格	1.8	1.8	1.8	340	21.3	20.3	20.3	340
SMA58Q	40	規格	1.8	1.8	1.8	360	21.3	20.3	20.3	360
SMA58Q	40	規格	1.8	1.8	1.8	380	21.3	20.3	20.3	380
SMA58Q	40	規格	1.8	1.8	1.8	400	21.3	20.3	20.3	400
SMA58Q	40	規格	1.8	1.8	1.8	420	21.3	20.3	20.3	420
SMA58Q	40	規格	1.8	1.8	1.8	440	21.3	20.3	20.3	440
SMA58Q	40	規格	1.8	1.8	1.8	460	21.3	20.3	20.3	460
SMA58Q	40	規格	1.8	1.8	1.8	480	21.3	20.3	20.3	480
SMA58Q	40	規格	1.8	1.8	1.8	500	21.3	20.3	20.3	500
SMA58Q	40	規格	1.8	1.8	1.8	520	21.3	20.3	20.3	520
SMA58Q	40	規格	1.8	1.8	1.8	540	21.3	20.3	20.3	540
SMA58Q	40	規格	1.8	1.8	1.8	560	21.3	20.3	20.3	560
SMA58Q	40	規格	1.8	1.8	1.8	580	21.3	20.3	20.3	580
SMA58Q	40	規格	1.8	1.8	1.8	600	21.3	20.3	20.3	600
SMA58Q	40	規格	1.8	1.8	1.8	620	21.3	20.3	20.3	620
SMA58Q	40	規格	1.8	1.8	1.8	640	21.3	20.3	20.3	640
SMA58Q	40	規格	1.8	1.8	1.8	660	21.3	20.3	20.3	660
SMA58Q	40	規格	1.8	1.8	1.8	680	21.3	20.3	20.3	680
SMA58Q	40	規格	1.8	1.8	1.8	700	21.3	20.3	20.3	700
SMA58Q	40	規格	1.8	1.8	1.8	720	21.3	20.3	20.3	720
SMA58Q	40	規格	1.8	1.8	1.8	740	21.3	20.3	20.3	740
SMA58Q	40	規格	1.8	1.8	1.8	760	21.3	20.3	20.3	760
SMA58Q	40	規格	1.8	1.8	1.8	780	21.3	20.3	20.3	780
SMA58Q	40	規格	1.8	1.8	1.8	800	21.3	20.3	20.3	800
SMA58Q	40	規格	1.8	1.8	1.8	820	21.3	20.3	20.3	820
SMA58Q	40	規格	1.8	1.8	1.8	840	21.3	20.3	20.3	840
SMA58Q	40	規格	1.8	1.8	1.8	860	21.3	20.3	20.3	860
SMA58Q	40	規格	1.8	1.8	1.8	880	21.3	20.3	20.3	880
SMA58Q	40	規格	1.8	1.8	1.8	900	21.3	20.3	20.3	900
SMA58Q	40	規格	1.8	1.8	1.8	920	21.3	20.3	20.3	920
SMA58Q	40	規格	1.8	1.8	1.8	940	21.3	20.3	20.3	940
SMA58Q	40	規格	1.8	1.8	1.8	960	21.3	20.3	20.3	960
SMA58Q	40	規格	1.8	1.8	1.8	980	21.3	20.3	20.3	980
SMA58Q	40	規格	1.8	1.8	1.8	1000	21.3	20.3	20.3	1000
SMA58Q	40	規格	1.8	1.8	1.8	1020	21.3	20.3	20.3	1020
SMA58Q	40	規格	1.8	1.8	1.8	1040	21.3	20.3	20.3	1040
SMA58Q	40	規格	1.8	1.8	1.8	1060	21.3	20.3	20.3	1060
SMA58Q	40	規格	1.8	1.8	1.8	1080	21.3	20.3	20.3	1080
SMA58Q	40	規格	1.8	1.8	1.8	1100	21.3	20.3	20.3	1100
SMA58Q	40	規格	1.8	1.8	1.8	1120	21.3	20.3	20.3	1120
SMA58Q	40	規格	1.8	1.8	1.8	1140	21.3	20.3	20.3	1140
SMA58Q	40	規格	1.8	1.8	1.8	1160	21.3	20.3	20.3	1160
SMA58Q	40	規格	1.8	1.8	1.8	1180	21.3	20.3	20.3	1180
SMA58Q	40	規格	1.8	1.8	1.8	1200	21.3	20.3	20.3	1200
SMA58Q	40	規格	1.8	1.8	1.8	1220	21.3	20.3	20.3	1220
SMA58Q	40	規格	1.8	1.8	1.8	1240	21.3	20.3	20.3	1240
SMA58Q	40	規格	1.8	1.8	1.8	1260	21.3	20.3	20.3	1260
SMA58Q	40	規格	1.8	1.8	1.8	1280	21.3	20.3	20.3	1280
SMA58Q	40	規格	1.8	1.8	1.8	1300	21.3	20.3	20.3	1300
SMA58Q	40	規格	1.8	1.8	1.8	1320	21.3	20.3	20.3	1320
SMA58Q	40	規格	1.8	1.8	1.8	1340	21.3	20.3	20.3	1340
SMA58Q	40	規格	1.8	1.8	1.8	1360	21.3	20.3	20.3	1360
SMA58Q	40	規格	1.8	1.8	1.8	1380	21.3	20.3	20.3	1380
SMA58Q	40	規格	1.8	1.8	1.8	1400	21.3	20.3	20.3	1400
SMA58Q	40	規格	1.8	1.8	1.8	1420	21.3	20.3	20.3	1420
SMA58Q	40	規格	1.8	1.8	1.8	1440	21.3	20.3	20.3	1440
SMA58Q	40	規格	1.8	1.8	1.8	1460	21.3	20.3	20.3	1460
SMA58Q	40	規格	1.8	1.8	1.8	1480	21.3	20.3	20.3	1480
SMA58Q	40	規格	1.8	1.8	1.8	1500	21.3	20.3	20.3	1500
SMA58Q	40	規格	1.8	1.8	1.8	1520	21.3	20.3	20.3	1520
SMA58Q	40	規格	1.8	1.8	1.8	1540	21.3	20.3	20.3	1540
SMA58Q	40	規格	1.8	1.8	1.8	1560	21.3	20.3	20.3	1560
SMA58Q	40	規格	1.8	1.8	1.8	1580	21.3	20.3	20.3	1580
SMA58Q	40	規格	1.8	1.8	1.8	1600	21.3	20.3	20.3	1600
SMA58Q	40	規格	1.8	1.8	1.8	1620	21.3	20.3	20.3	1620
SMA58Q	40	規格	1.8	1.8	1.8	1640	21.3	20.3	20.3	1640
SMA58Q	40	規格	1.8	1.8	1.8	1660	21.3	20.3	20.3	1660
SMA58Q	40	規格	1.8	1.8	1.8	1680	21.3	20.3	20.3	1680
SMA58Q	40	規格	1.8	1.8	1.8	1700	21.3	20.3	20.3	1700
SMA58Q	40	規格	1.8	1.8	1.8	1720	21.3	20.3	20.3	1720
SMA58Q	40	規格	1.8	1.8	1.8	1740	21.3	20.3	20.3	1740
SMA58Q	40	規格	1.8	1.8	1.8	1760	21.3	20.3	20.3	1760
SMA58Q	40	規格	1.8	1.8	1.8	1780	21.3	20.3	20.3	1780
SMA58Q	40	規格	1.8	1.8	1.8	1800	21.3	20.3	20.3	1800
SMA58Q	40	規格	1.8	1.8	1.8	1820	21.3	20.3	20.3	1820
SMA58Q	40	規格	1.8	1.8	1.8	1840	21.3	20.3	20.3	1840
SMA58Q	40	規格	1.8	1.8	1.8	1860	21.3	20.3	20.3	1860
SMA58Q	40	規格	1.8	1.8	1.8	1880	21.3	20.3	20.3	1880
SMA58Q	40	規格	1.8	1.8	1.8	1900	21.3	20.3	20.3	1900
SMA58Q	40	規格	1.8	1.8	1.8	1920	21.3	20.3	20.3	1920
SMA58Q	40	規格	1.8	1.8	1.8	1940	21.3	20.3	20.3	1940
SMA58Q	40	規格	1.8	1.8	1.8	1960	21.3	20.3	20.3	1960
SMA58Q	40	規格	1.8	1.8	1.8	1980	21.3	20.3	20.3	1980
SMA58Q	40	規格	1.8	1.8	1.8	2000	21.3	20.3	20.3	2000
SMA58Q	40	規格	1.8	1.8	1.8	2020	21.3	20.3	20.3	2020
SMA58Q	40	規格	1.8	1.8	1.8	2040	21.3	20.3	20.3	2040
SMA58Q	40	規格	1.8	1.8	1.8	2060	21.3	20.3	20.3	2060
SMA58Q	40	規格	1.8	1.8	1.8	2080	21.3	20.3	20.3	2080
SMA58Q	40	規格	1.8	1.8	1.8	2100	21.3	20.3	20.3	2100
SMA58Q	40	規格	1.8	1.8	1.8	2120	21.3	20.3	20.3	2120
SMA58Q	40	規格	1.8	1.8	1.8					

ものであろう。

表 7 母材歪時効後の 2 mmV ノッチシャルピー衝撃試験結果

## (4) 歪時効試験

歪量 2.5%, 5.0% および 7.5% の引張予歪をえたのち、加熱温度 250°C, 保持時間 1 hr の時効処理を施し、板厚の  $\frac{1}{4}$ t 部から試験片方向が引張予歪方向に一致するように、JIS Z2202 4 号試験片を加工し衝撃試験を行なった。

試験結果を表 7 に板厚 50 mm の SMA58Q, SMA50C および SMA41C の遷移曲線を図 4 (a) (b), (c) に示すが、いずれの供試材も規格値を十分満足している。

以上、母材についての各試験結果を同強度の SM 材と比較した場合、特に差異は認められず、十分使用できるものである。ただ、SMA58Q の化学成分は試験的に規格値の上限をねらったため、一部試験値にその影響がでているがまざ問題はない。なお通常の生産では低目の線で製造管理されている。

鋼種	板厚 mm	方向	位置	歪量 %	E = 0 kg·m	E = 5 kg·m	E = 20 kg·m	E = 40 kg·m	vTr <sub>0</sub> °C	vTr <sub>s</sub> °C	vTr <sub>15</sub> °C
SMA58Q	50	X	$\frac{1}{4}t$	0		22.2	21.6	11.3	-41	-39	92
				2.5		21.8	20.7	9.0	-36	-35	-75
				5.0		21.6	19.1	5.0	-32	-31	56
				7.5		17.8	10.8	3.7	-20	-21	61
SMA58Q	38	X	$\frac{1}{4}t$	0		24.3	24.2	21.7	-63	-61	94
				2.5		23.2	23.0	19.9	-56	-54	81
				5.0		23.0	23.0	21.5	-54	-51	-74
				7.5		23.5	23.0	16.2	-45	-44	67
SMA58Q	25	X	$\frac{1}{4}t$	0		28.5	28.0	23.7	-62	-62	100
				2.5		28.0	27.8	23.0	-58	-57	-82
				5.0		26.8	26.4	17.7	-47	-45	80
				7.5		27.2	25.5	17.0	-44	-43	-75
SMA50C	50	X	$\frac{1}{4}t$	0	28.2	25.1	19.7	-57	-58	94	
				2.5	25.2	25.0	20.7	53	-50	-87	
				5.0	24.8	21.6	13.2	41	-40	-87	
				7.5	25.2	20.2	6.6	-30	-30	57	
SMA50B	38	X	$\frac{1}{4}t$	0	10.4	6.5	3.7	6	-2	55	
				2.5	7.0	3.5	1.5	5	7	35	
				5.0	6.0	2.9	1.2	8	9	-30	
				7.5	4.5	2.0	0.8	9	15	-21	
SMA50B	25	X	$\frac{1}{4}t$	0	11.9	8.2	5.3	1	-5	65	
				2.5	10.8	4.5	2.1	-1	-4	43	
				5.0	8.3	3.1	1.0	4	7	-27	
				7.5	8.3	2.5	1.7	3	3	27	
SMA41C	50	X	$\frac{1}{4}t$	0		4.5	1.5	-14	-17	-35	
				2.5	18.6	5.3	1.0	-9	9	34	
				5.0	18.3	1.8	0.9	4	-2	-18	
				7.5	14.7						

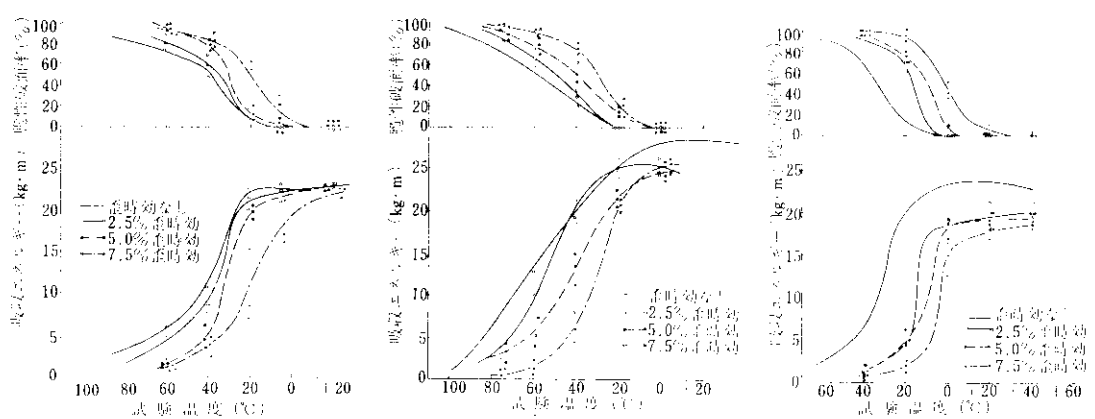


図 4 母材歪時効後の 2 mmV ノッチシャルピー衝撃試験結果

### 3.2 溶接硬化性試験

溶接熱影響部の硬化性を調べるために最高硬さ試験を行なった。

試験はJIS Z3101(溶接部の最高硬さ試験方法)の規定にもとづいて行なった。

表8に示す溶接条件で、鋼板初温度を室温(R.T.), 50°C, 100°Cの3温度について、図5に示す試験材の表面の中央部に長さ125mmの手溶接によるビードを置き、溶接後12hrのうち、図5に示す要領にもとづいて、硬さ試験片を採取した。測定断面を研磨し、マクロ組織が見えるように腐食したのち図6に示すように溶着金属の底部(ボンド部)をとおる板面上に平行な直線上を0.5mm間隔でビッカース硬さ(荷重10kg)を測定し、測定値のうちもっとも大きい値を最高硬さとした。

試験結果を表8に示し、板厚50mmのSMA58Q, SMA50CおよびSMA41Cの硬さ分布を図7(a), (b), (c)に示す。SMA58Q, SMA50CおよびSMA50Bにおける熱影響部の最高硬さは、室温においていづれもIIW最高硬さ規格値(Hv=350)をやや上回っているが、50~100°Cの予熱を行なうことにより硬さは低下し、規格内に収まつてお

表8 溶接条件および最高硬さ試験結果

被験材	板厚 mm	溶接条件				最高硬さ試験 Hv10kg
		溶接棒 種類	棒径 mm	電流 (A)	速度 (mm/min)	
SMA58Q	50	KS86 Cu		170 ± 10	150 ± 10	R.T. 383
	38					50°C 354
	25					100°C 348
SMA50C	50	IHW52A	4	170 ± 10	150 ± 10	R.T. 366
SMA50B	38					50°C 358
SMA50B	25					100°C 353
SMA41C	50			170 ± 10	150 ± 10	R.T. 254
						50°C 236
						100°C 235

り、SM材と比較してほぼ同程度の値を示した。ただSMA58QはCeQの上限をねらったものであるため、多少その影響がみられ、最高硬さは高い値にあるが(通常の生産においては、CeQは十分低めに管理されている)、問題はないと考えられる。

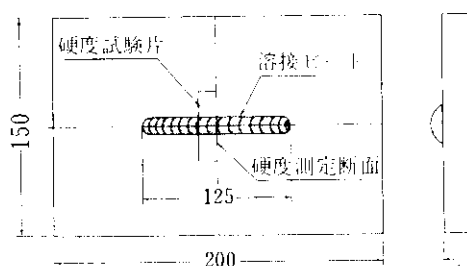


図5 最高硬さ試験材形状寸法および試験片採取要領

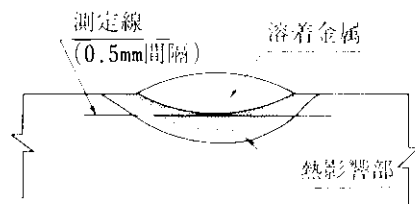
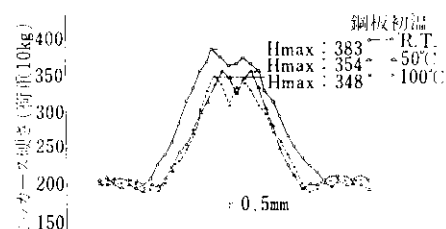
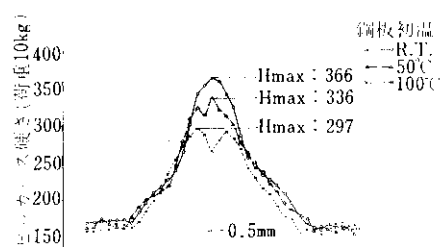


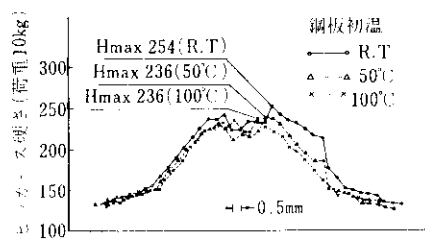
図6 最高硬さ測定要領



(a) SMA58Q, 板厚50mm



(b) SMA50C, 板厚50mm



(c) SMA41C, 板厚50mm

図7 最高硬さ試験結果

表 9 溶接条件

鋼種	板厚 (mm)	溶接条件		電流 (A)	速度 (mm/min)	鋼板初温 (°C)
		銹柄	棒(Φmm)			
SMA58Q	50	KS86 Cu	4	170 ± 10	150 ± 10	R.T., 50, 100
	38					
	25					
SMA50C	50	LBW 52	4	170 ± 10	150 ± 10	R.T., 50, 100
SMA50B	38					
	25					

### 3・3 溶接割れ感受性

#### (1) 溶接ビード曲げ試験

試験はJISZ3161(溶接ビード曲げ試験方法)にもとづいて行ない、試験の要領は図8に示す試験材の表面溝に表9に示す溶接条件で、手溶接による所定長さの溶接ビードを置き、室温において、図9に示すように、溶接ビード面を下側にしてローラー曲げ治具を用いて曲げ(荷重速度75mm/min),溶接部における割れ発生の有無およびその状況を

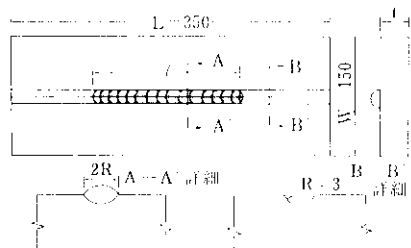


図 8 溶接ビード曲げ試験片の形状寸法

表 10 溶接ビード曲げ試験結果

鋼種	板厚 (mm)	鋼板初温 (°C)	初期曲率半径 (mm)		熱影響部曲率半径 (mm)	熱影響部曲り角度 (°)
			常温	R.T.		
SMA58Q	50	R.T.	>120	>120	>120	>120
		50	>120	>120	>120	>120
		100	>120	>120	>120	>120
	38	R.T.	>120	>120	>120	>120
		50	>120	>120	>120	>120
		100	>120	>120	>120	>120
SMA50C	50	R.T.	>120	>120	>120	>120
		50	>120	>120	>120	>120
		100	>120	>120	>120	>120
	38	R.T.	>120	>120	>120	>120
		50	>120	>120	>120	>120
		100	>120	>120	>120	>120
SMA50B	38	R.T.	>120	>120	>120	>120
		50	>120	>120	>120	>120
		100	>120	>120	>120	>120
	25	R.T.	>120	>120	>120	>120
		50	>120	>120	>120	>120
		100	>120	>120	>120	>120

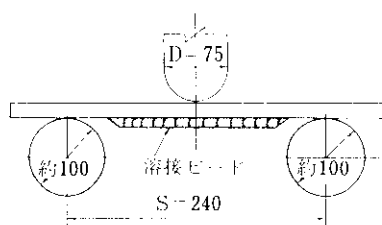


図 9 試験材の板厚に対する治具の寸法

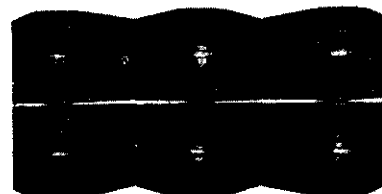
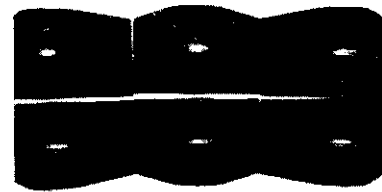
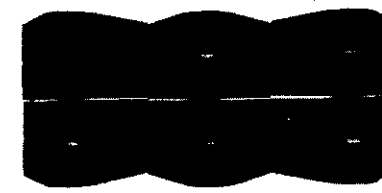
鋼板初温 (R.T.) (50°C) (100°C)  
(a) SMA58Q 板厚50mm鋼板初温 (R.T.) (50°C) (100°C)  
(b) SMA50C 板厚50mm鋼板初温 (R.T.) (50°C) (100°C)  
(c) SMA50B 板厚38mm

写真 2 溶接ビード曲げ試験片曲り形状例

観察するとともに割れの発生時の曲り角度を調べた。なお板厚25mmを越える試験材は、曲げ試験材の容量により、原厚のままで溶接を行なつたのち、反対側(裏面)より板厚25mmにまで削減した(WES135 “溶接構造用高張力鋼板”規格による)。

各鋼板に対する溶接ビード曲げ試験鋼板初期温度における割れ発生時の曲り角度をまとめたものを表10に示し、曲げ試験材の曲り状況例を写真2(a), (b), (c)に示す。表10に示したように、鋼板初温度が常温、50°Cおよび100°Cのいずれの場合も曲り角度は120°以上となり、熱影響部の曲

げ延性は十分良好であるといえる。

### (2) Y型溶接割れ試験

試験はJIS Z3158(斜めY型溶接割れ試験方法)にもとづき、図10に示すY型溶接割れ試験片を用い、表11の溶接条件で、鋼板初温度が室温(10°C), 50°, 75°および100°Cの4温度について試験を行なった。

試験片は溶接終了後48hr以上経過してから、塗料渗透検査で表面の割れの有無を検査し、割れの有ったものについては図11(a)に示した方法で表面割れ率を算出した。また表面の割れを検査した試験片を5断面に切断し、研磨および肉眼腐食試験により断面内の割れの有無を検査し、割れのあった断面については、その高さを測定し、図11(b)に示した方法で横断面割れ率を算出した。

各供試鋼材の予熱温度に対する表面割れ率および横断面割れ率をプロットしたもののが図12(a), (b), (c)および図13(a), (b), (c)に示す。SMA 58QおよびSMA 50Cとともに室温で表面割れはまったく発生していないが、断面割れは板厚38mm以上の場合、SMA

58QおよびSMA 50Bにわずかに認められた。しかし75°C以上の予熱により割れは発生していない。新堺頭連絡橋の施工においては、SMA 58Q

表11 溶接条件

板厚 mm	SMA 58Q	SMA 50B	SMA 50C
25	38	50	25
38			38
50			50
溶接棒	KS-86Cu(4mmφ)	LBW	52A(4mmφ)
溶接電流		175A	
溶接速度		156 mm/min	
溶接電圧		21V	
入熱量		14,135J/cm	
予熱温度	R.T(10°C), 50°C, 75°C, 100°C		

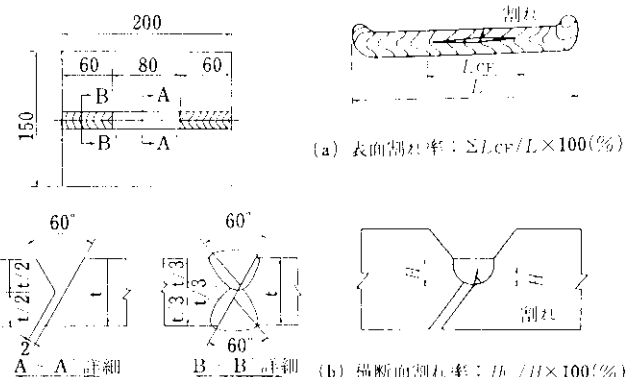


図 10 Y型溶接割れ試験片形状

図 11 割れ率算出法

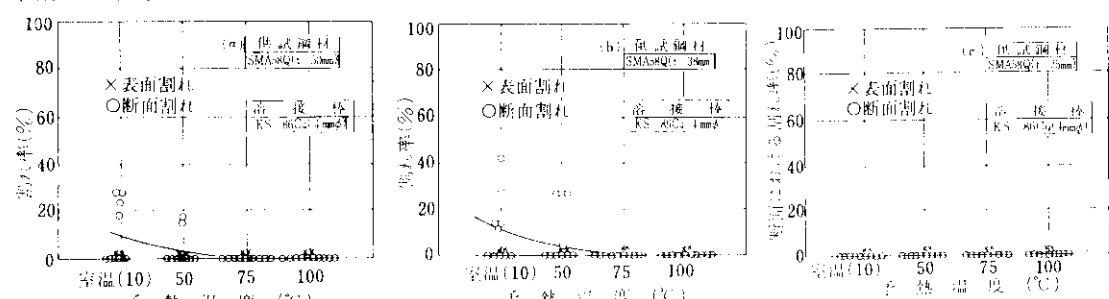


図 12 Y型スリット拘束割れ試験における表面割れ率および横断面割れ率と予熱温度との関係

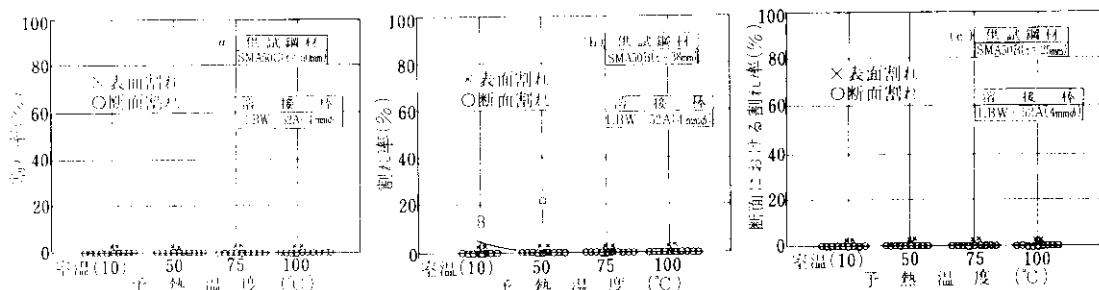


図 13 Y型スリット拘束割れ試験における表面割れ率および横断面割れ率と予熱温度との関係

表 12 供試鋼板と使用溶接棒の組合せおよび溶接条件

供試鋼板	使 用 溶 接 棒			溶 接 長 度	溶接条件
	仮付用	本溶接用	仮付溶接長さ		
SS41(t=22mm) × SMA41C(t=50mm)	KEL(川鉄) LB52A(神鋼)	KS785(川鉄) " "	20,50,75mm	常温 10°C 0,0.5,1.0mm	10,000J/cm 170A200mm/min 15,000 " 170A150mm/min 20,000 " 170A100mm/min
SMA50R(t=25mm) × SMA50C(t=50mm)	KEL(川鉄) LB52A(神鋼)	LBW52(28A)(神鋼) " "	"	"	"
SMA58Q(t=25mm) × SMA58Q(t=50mm)	KEL(川鉄) LB52A(神鋼) KS86Cu(川鉄)	LBW62(28A) " " " "	"	"	"

(注) 使用溶接棒はすべて4mmφとした。

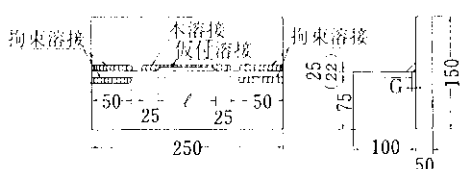


図 14 仮付溶接割れ試験片の形状と寸法

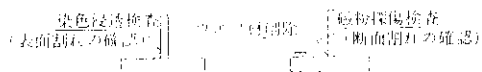


図 15 仮付溶接割れの検査要領

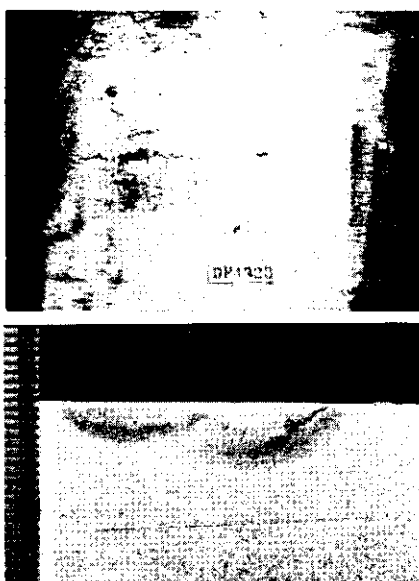
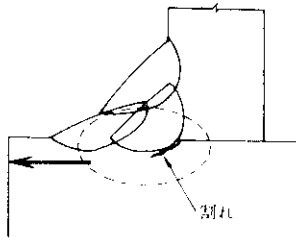


写真 3 断面割れの例

では75~100°C、SMA50Cでは60~80°Cの予熱を行なうので、割れ発生は十分回避できるものと考えられる。



### (3) 仮付溶接割れ試験

厚板耐候性鋼板の工作組立における仮付溶接について、その溶接割れ感受性を調査するため、工作時の組立精度および仮付溶接長さ、さらに拘束力を考慮し、小入熱条件におけるT型隅割れ試験を実施した。仮付溶接割れ試験片の形状および寸法を図14に供試鋼板と使用溶接棒の組合せおよび溶接条件を表12に示す。

表面割れの有無は、染色浸透法によって検査し断面割れについては図15に示す要領で、磁粉探傷法により割れの有無を確認した。

断面割れの例を写真3に示すが、このような断面割れが確認されたのは、189個の試験片のうち6個であった。これらはいずれも0.5mmまたは1mmのルート間隔があるものに発生しているが、入熱量の変化、溶接長の変化による有意差はみられなかった。したがて、このような仮付時ににおける割れに対してはルート間隔の影響は大きい

が、今回の実験における程度の入熱量溶接長の影響はあまりないと考えられる。この断面割れ発生は、むしろ常温(予熱なし)という試験片初期温度の影響によるものと考えられ、ある程度の予熱で割れ発生が防止できることは、表10のY形溶接割れ試験結果からも十分推察できよう。

さらに、SS41とSMA41C材を組合せた試験片においては、本溶接部の溶着金属部に写真4に示されるような縫割れが観察された。この溶接

に使用した溶接棒は鉄粉低水素系であり、他の溶接棒（低水素系）に比べて、比較的拡散性水素量が多く、この水素の影響によるものと考えられる。

極低水素系の溶接棒の使用によっても、拘束条件が苛酷でしかも予熱を行なわない場合には、確率的には非常に少いといえるが、割れ発生の危険性がある。したがって、仮付溶接に対しても、十分拘束条件を勘案することにより予熱を行なう必要があると考えられる。また隅肉用の本溶接棒としては鉄粉低水素の棒の使用範囲を制限する必要があると考えられる。



写真4 溶着金属部の縫割れ例 SS41( $t=22\text{mm}$ )×SMA41C( $t=50\text{mm}$ )

表13 溶接条件

鋼種	溶接材料	入熱量(J/cm)	電流(A)	電圧(V)	速度(mm/min)	開先形状
SMA58Q ( $t=50$ )	US49×MF38 (4.8φ, 6.4φ) (20×200)	35,000	700	29	350	
SMA50C ( $t=50$ )	US36×MF38 (4.8φ, 6.4φ) (20×200)	70,000	950	34	280	

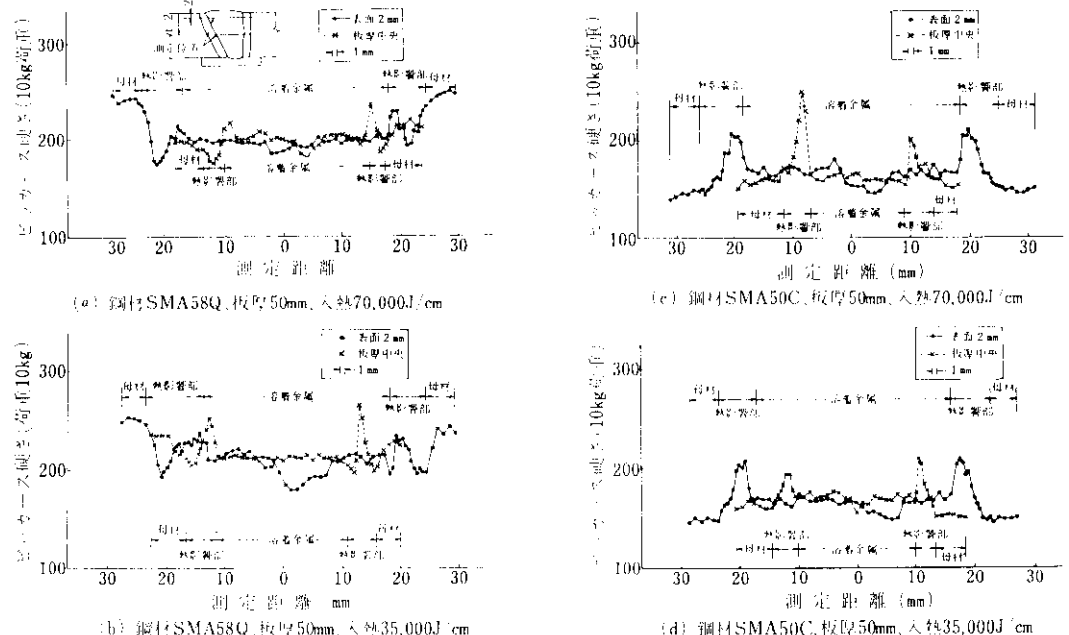


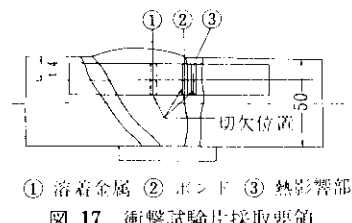
図16 断面硬さ分布

硬さはピッカース（荷重10kg）で測定した。

測定結果を図16(a), (b), (c), (d)に示す。

## (2) 衝撃試験

試験片はJIS Z2202の4号とし、試験の繰返し数は3個、1枚の初期温度は常温とした。試験片の切欠部は図17に示すように板厚のt/4とした。試験は溶着金属、ボンドおよび



① 溶着金属 ② ボンド ③ 热影響部

図 17 衝撃試験片採取要領

熱影響部の3箇所について、-78°C, -60°C, -40°C, -20°C, 0°C, (または-5°C)の温度で行ない遷移曲線を求めた。

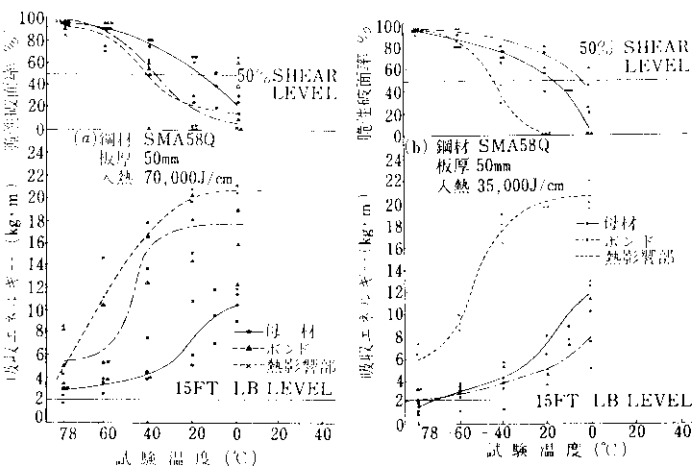


表 14 標準条件溶接継手衝撃試験結果

入熱 J/cm 70,000	鋼種 SMA	板厚 mm 58Q 50mm	試験片 採取 位置 切欠 部	衝撃値 kg·m							vTrs °C	vTrs °C
				0°C	-10°C	-20°C	-40°C	-60°C	-78°C			
70,000	SMA 58Q 50mm	母材	溶着	10.6	7.2	11.0	4.1	3.8	3.1	—	—	—
			金屬	11.6	12.0	6.1	4.5	3.9	2.6	—	18	< -78
			部	9.2	9.7	5.3	4.1	2.7	3.1	—	—	—
		ボンド	(11.6)	(9.6)	(7.5)	(4.2)	(3.5)	(2.9)	—	—	—	—
			母材	19.0	—	18.1	17.8	10.6	8.3	—	—	—
			部	12.3	—	14.4	16.7	3.9	5.1	38	< -78	—
	SMA 58Q 50mm	熱影響部	母材	15.9	—	20.2	12.5	5.4	3.6	—	—	—
			部	(13.7)	—	(17.5)	(15.7)	(6.6)	(5.6)	—	—	—
			母材	12.0	—	15.1	7.7	11.3	2.0	—	—	—
		35,000	母材	20.6	—	19.8	13.8	14.7	4.4	—	-41	< -78
			部	21.1	—	20.8	20.1	5.4	8.7	—	—	—
			母材	(17.9)	—	(18.6)	(13.9)	(10.5)	(5.0)	—	—	—
35,000	SMA 58Q 50mm	母材	溶着	12.9	8.9	6.4	3.8	3.4	1.7	—	—	—
			金屬	10.3	7.4	8.1	3.3	2.6	2.0	—	-16	-74
			部	12.6	7.7	8.0	4.2	3.5	1.3	—	—	—
		ボンド	(11.9)	(8.0)	(7.5)	(3.8)	(3.2)	(1.6)	—	—	—	—
			母材	7.5	—	3.6	5.6	1.3	2.2	—	—	—
			部	11.4	—	9.0	5.2	3.3	1.0	4	< -78	—
	SMA 58Q 50mm	35,000	母材	5.0	—	4.5	1.4	2.9	3.3	—	—	—
			部	1.8	—	(4.4)	(4.1)	(2.5)	(2.1)	—	—	—
			母材	22.0	—	19.6	16.4	10.0	3.0	—	—	—
		35,000	母材	20.0	—	21.4	19.0	8.5	6.4	—	-47	< -78
			部	19.5	—	19.6	18.1	9.1	7.4	—	—	—
			母材	(20.5)	—	(20.2)	(17.8)	(9.2)	(5.7)	—	—	—
70,000	SMA 50C 50mm	母材	溶着	15.0	—	16.1	5.2	6.6	1.9	—	—	—
			金屬	12.2	—	12.9	6.4	4.0	1.4	—	28	-78
			部	15.1	—	14.1	5.2	1.8	2.2	—	—	—
		ボンド	(14.1)	(14.1)	(5.8)	(6.1)	(1.8)	—	—	—	—	—
			母材	16.1	—	8.9	6.4	4.2	1.4	—	—	—
			部	6.0	—	3.4	2.2	1.4	1.3	11	< -60	—
	SMA 50C 50mm	35,000	母材	6.2	—	4.4	3.3	1.1	3.4	—	—	—
			部	(9.4)	—	(5.6)	(3.9)	(2.3)	(1.7)	—	—	—
			母材	22.8	—	15.0	15.0	9.7	—	—	—	—
		35,000	母材	19.2	—	18.9	5.3	1.8	—	35	< -78	—
			部	20.6	—	10.2	7.5	1.8	—	—	—	—
			母材	(20.8)	—	(14.7)	(9.3)	(4.4)	—	—	—	—
35,000	SMA 50C 50mm	母材	溶着	15.2	—	13.6	7.7	5.6	2.0	—	—	—
			金屬	14.6	—	14.0	12.4	5.3	2.9	—	40	< -78
			部	15.1	—	12.6	9.7	6.0	3.8	—	—	—
		ボンド	(15.0)	(13.3)	(10.0)	(9.6)	(2.9)	—	—	—	—	—
			母材	21.8	—	—	22.3	1.5	1.3	—	—	—
			部	17.0	—	—	26.6	10.6	1.0	44	< -78	—
	SMA 50C 50mm	35,000	母材	26.7	—	—	7.4	10.9	5.4	—	—	—
			部	(21.8)	—	—	(18.8)	(7.7)	(2.6)	—	—	—
			母材	26.7	—	—	19.6	—	28.8	—	—	—
		35,000	母材	—	—	—	26.8	—	8.6	—	74	< -78
			部	—	—	—	29.6	—	13.5	—	—	—
			母材	(26.7)	—	—	(25.3)	—	(17.6)	—	—	—

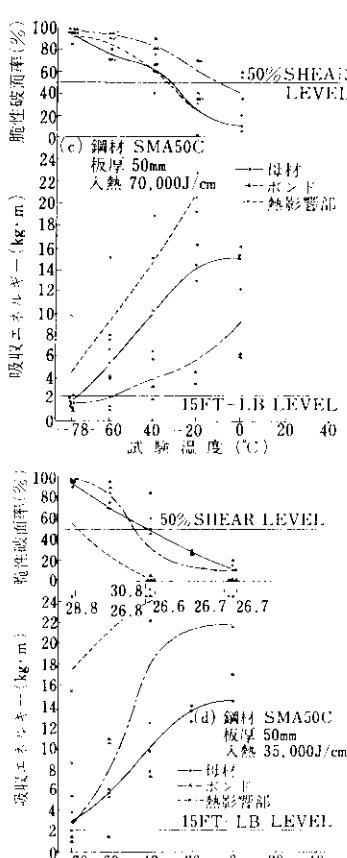


図 18 標準条件溶接継手衝撃試験結果

試験結果を表14に、遷移曲線を図18(a), (b) (c), (d)に示す。

溶接入熱量を35,000J/cm, 70,000J/cmの2段階に変化させたサブマージアーク溶接試験結果については、継手の硬さおよび衝撃値ともに良好な値を示した。実際施工においても、70,000J/cm程度の大入熱溶接でもまったく問題はないといえよう。

#### 4・3・2 突合せ溶接継手性能試験

SMA58Qの板厚38および50mmは手溶接、サブマージアーク溶接および消耗ノズル式エレクトロスラグ溶接、他の鋼種については手溶接およびサブマージアーク溶接により突合せ溶接された継手性能について調査した。

##### (1) 手溶接突合せ溶接継手性能試験

各鋼種についての手溶接条件を表15に示す。

###### (1) 継手引張試験結果

試験は、JIS Z3121(突合せ溶接継手の引張試

験方法)の規定に基づき、試験片の形状を1号試験片として、試験は室温で引張試験機で引張って破断させ、引張強さおよび破断位置を測定した。その結果を表16に示す。SMA58Qの板厚38mm, 50mmの破断位置は溶着金属部で、その他はすべて母材部であったが、いずれの鋼種板厚とも引張特性において母材規格値を下回るものはなく、良好な結果を示している。

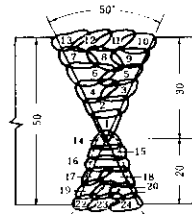
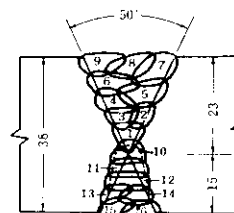
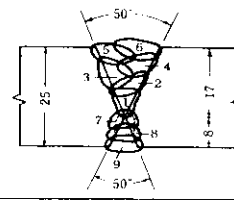
###### ii) 継手型曲げ試験結果

JIS Z3122(突合せ溶接継手の型曲げ試験方法)の規定に基づき、試験片の形状は側曲げ試験片の3号とし、室温でアムスラー試験材の曲げ試験具を用いて曲げ、表面の欠陥の有無を調べた。その結果いずれの鋼種とも表面欠陥はまったく認められずすべて良好であった。

###### iii) 衝撃試験結果

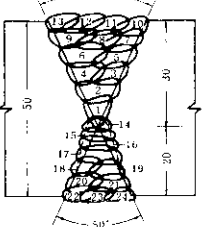
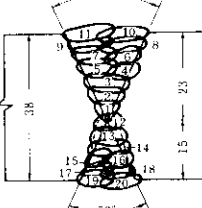
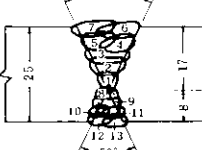
試験片形状はJIS Z2202の4号試験片とし、溶着金属の中央部で最終層側の板厚の $\frac{1}{4}$ (Rim部)

表 15—(a) 各試験材の手溶接条件

鋼種 (板厚)	層数	電流 (A)	電圧 (V)	速度 (mm/min)	入熱 (J/cm)	溶接棒 (径mmφ)	継手形状
SMA58 (50mm)	1~2	230	25	120	24,000	5	
	3~6	230	25	135		5	
	7~9	225	25	140		5	
	10~12	220	25	135		5	
	13	225	25	135		5	
	14~15	230	25	125	31,000	5	
	16	235	25	115		5	
	17~18	230	25	135		5	
	19~23	225	25	140		5	
	24	220	25	130		5	
SMA58 (38mm)	1	235	25	130	24,000	5	
	2~3	215	25	135		5	
	4~5	225	25	125		5	
	6	230	25	120		5	
	7	225	25	130		5	
	8~9	220	25	140	30,000	5	
	10	230	25	135		5	
	11~12	230	25	125		5	
	13~14	220	25	140		5	
	15	225	25	130		5	
SMA58 (25mm)	16	220	25	140	24,000	5	
	1	230	25	140		5	
	2	230	25	130		5	
	3	235	25	115		5	
	4	230	25	135		5	
	5	220	25	140	31,000	5	
	6	215	25	135		5	
	7~8	230	25	133		5	
	9	225	25	140		5	

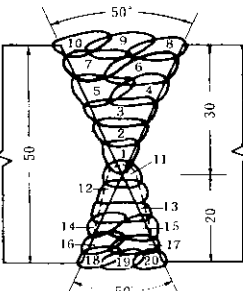
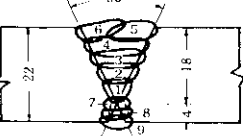
予熱温度: 100°C

表 15-(b) 各試験材の手溶接条件

鋼種 (板厚)	層数	電流 (A)	電圧 (V)	速度 (mm/min)	入熱 (J/cm)	溶接棒 (径mmφ)	継手形状
SMA50C (50mm)	1~2	235	25	130	23,000	5	
	3~4	220	25	135		5	
	5~6	230	25	125		5	
	7~10	225	25	140		5	
	11~13	215	25	130		5	
	14~16	235	25	120		5	
	17	230	25	130		5	
	18~21	225	25	135		5	
	22~23	220	25	140		5	
	24	220	25	145		5	
SMA50B (38mm)	1~2	220	25	140	18,000	5	
	3	230	25	125		5	
	4~7	220	25	130		5	
	8~10	230	25	120		5	
	11	215	25	145		5	
	12~13	180	24	130		4	
	14	185	24	120		4	
	15~19	175	24	140		4	
	20	180	24	130		4	
	21	225	25	135		5	
SMA50B (25mm)	2~3	230	25	125	18,000	5	
	4~6	215	25	140		5	
	7	170	24	135		4	
	8~9	230	25	145		5	
	10~12	180	24	140		4	
	13	175	24	130		4	

予熱温度：75°C

表 15-(c) 各試験材の手溶接条件

鋼種 (板厚)	層数	電流 (A)	電圧 (V)	速度 (mm/min)	入熱 (J/cm)	溶接棒 (径mmφ)	継手形状
SMA41C (50mm)	1	230	25	140	22,000	5	
	2~3	230	25	110		5	
	4~7	220	25	130		5	
	8~9	215	25	140		5	
	10	210	25	145		5	
	11	235	25	135		5	
	12~13	230	25	125		5	
	14~17	220	25	140		5	
	18~19	220	25	145		5	
	20	210	25	130		5	
耐候性SS41 (25mm)	1	185	24	140	19,000	4	
	2~3	225	25	130		5	
	4	235	25	135		5	
	5	220	25	140		5	
	6	205	25	140		5	
	7~8	180	24	135		4	
	9	175	24	120		4	

予熱温度：除湿程度（50°C）

表 16 手溶接突合せ溶接継手引張試験結果

鋼種	板厚 (mm)	引張強さ(kg/mm <sup>2</sup> )		試験片の採取および切欠位置
		引張強さ(kg/mm <sup>2</sup> )	破断位置	
SMA 58Q	50	71.6	溶着金屬	
		71.7	"	
	38	71.9	"	
		71.9	"	
SMA 50C	25	67.3	母材	
		67.4	"	
	50	58.7	"	
SMA 50B	38	59.2	"	
		60.7	"	
	25	60.5	"	
SMA 41C	50	59.1	"	
		60.0	"	
耐候性SS41	50	47.7	"	
		48.2	"	
耐候性SS41	22	49.3	"	
		48.9	"	

1/2 (Core 部) および熱影響部の板厚の 1/4 (Rim 部), 1/2 (Core 部) の位置より採取した。試験片の採取および切欠位置を図19に示す。

試験は -120°C から +60°C の間で 20°C おきに行ない遷移曲線を求めた。試験結果を表17に、板厚 50mm の SMA 58Q, SMA 50C および SMA 41C の遷移曲線を図20(a), (b), (c) に示すが、いずれも母材規格を十分満足している。

#### iv) 断面硬さ試験結果

継手断面の板面より 2 mm 入った部分と板厚の中央部をピッカース (荷重 10kg) で硬さ分布を測

表 17-(a) 手溶接突合せ溶接継手衝撃試験結果

( ) 内数字は平均値を示す。

鋼種 (板厚mm)	切欠位置	採取位置	衝撃値 (kg·m)										Trs (°C)	Tre (°C)			
			60	40	20	0 (E 0)	-20 (E 20)	-40 (E 40)	-60 (E 60)	-80 (E 80)	-100 (E 100)	-120 (E 120)					
SMA 58Q (t = 50)	溶着 金屬	t/4 (Rim)	18.1	18.1	15.8	9.8	10.0	6.8	1.5					195	-15		
			18.4	17.2	16.1	11.1	7.7	4.6	1.5								
			20.1	19.7	15.7	16.8	8.9	3.0	2.0								
			(18.9)	(18.3)	(15.9)	(12.6)	(8.8)	(4.8)	(1.7)								
		t/2 (Core)	14.8	14.6	9.5	8.2	4.3	1.6	1.5						15	+5	
			14.4	12.9	13.1	6.9	5.6	3.9	2.0								
			16.5	13.5	10.3	6.4	3.7	3.2	1.7								
			(15.2)	(13.7)	(11.0)	(7.2)	(4.5)	(2.9)	(1.7)								
	熱 影 響 部	t/4 (Rim)			20.4	18.7	10.7	5.2	3.3	1.2					48	-45	
					20.6	19.2	16.4	4.8	2.7	1.8							
					20.6	17.5	12.2	10.4	2.4	2.5							
					(20.5)	(18.5)	(13.1)	(6.8)	(2.8)	(1.8)							
SMA 58Q (t = 38)	溶着 金屬	t/4 (Rim)			20.6	17.9	10.6	9.2	2.8	3.7	0.8				44	-31	
					20.0	18.7	16.1	7.4	3.4	1.0	1.4						
					20.1	19.2	16.2	5.7	5.2	1.0	1.8						
					(20.2)	(18.6)	(14.3)	(7.4)	(3.8)	(1.9)	(1.3)						
		t/2 (Core)			18.3	16.9	12.8	8.0	5.1	1.6	1.2				20	-7	
					17.9	14.4	9.7	8.0	4.6	3.4	1.3						
					17.0	12.3	10.2	6.5	2.9	2.3	1.3						
					(17.7)	(14.5)	(10.9)	(7.5)	(4.4)	(2.4)	(1.3)						
	熱 影 響 部	t/4 (Rim)			15.5	8.6	8.8	5.1	2.0	1.2	1.1				-13	-7	
					15.4	14.3	9.1	6.2	3.0	1.6	0.9						
					14.7	15.6	11.5	7.3	5.2	1.7	1.0						
					(15.2)	(12.8)	(9.8)	(6.2)	(3.4)	(1.5)	(1.0)						
SMA 58Q (t = 25)	熱 影 響 部	t/4 (Rim)						20.3	14.9	16.2	4.3	1.3			-72	89	
								21.1	18.5	6.8	5.0	0.9					
								19.5	17.6	9.1	6.2	2.0					
								(20.3)	(17.0)	(10.7)	(5.2)	(1.4)					
		t/2 (Core)						20.3	21.4	9.0	3.2	1.6	1.9			52	51
								21.5	16.3	7.6	3.2	2.5	0.6				
								20.2	9.4	8.6	6.2	1.8	0.8				
								(20.7)	(15.6)	(8.4)	(4.2)	(2.0)	(1.1)				
	溶着 金屬	t/4 (Rim)			20.1	13.7	9.7	7.2	4.4	2.2	0.8				-33	4	
					17.2	16.0	12.7	8.5	5.2	2.2	1.0						
					20.1	15.0	10.6	7.5	4.8	2.3	0.7						
					(19.1)	(14.9)	(11.0)	(7.7)	(4.8)	(2.2)	(0.8)						
	熱 影 響 部	t/2 (Core)			16.6	11.1	8.8	5.8	2.9	1.4	0.4				25	-5	
					17.2	13.6	8.6	5.8	2.1	0.8							
					17.2	12.5	8.3	5.2	1.5	1.3	1.3						
					(17.0)	(12.4)	(8.4)	(5.6)	(3.4)	(1.6)	(0.8)						
	熱 影 響 部	t/4 (Rim)						22.4	18.9	11.9	7.4	5.2	1.0		64	-61	
								24.1	18.9	15.0	5.0	2.0	1.0				
								24.3	22.1	9.8	8.6	3.0	1.0				
								(23.6)	(19.9)	(12.4)	(7.0)	(3.4)	(1.0)				
	t/2 (Core)								23.9	24.4	7.8	4.5				-92	95
									23.9	20.0	8.4	1.0					
									23.8	13.4	13.2	5.2					
									(23.9)	(19.2)	(9.8)	(2.6)					

表 17-(b) 手溶接突合せ溶接継手衝撃試験結果

( )内数字は平均値を示す

鋼種 (板厚mm)	切欠 位置	採取 位置	衝 撃 値 (kg·m)								Trs (°C)	Tck (°C)	
			40	20	0 (E 0)	20 (E 20)	-40 (E 40)	-60 (E 60)	-80 (E 80)	-100 (E 100)	-120 (E 120)		
SMA50C (t=50)	溶着 金属 (Rim)	19.2	17.0	14.8	6.0	3.8	1.3	0.8				-17	-16
		19.5	18.8	17.0	10.1	2.5	1.9	1.2					
		18.9	13.0	12.0	10.3	4.4	1.2	0.7					
		(19.2)	(17.9)	(14.6)	(8.8)	(3.6)	(1.5)	(0.9)					
		18.6	17.0	14.3	6.2	3.5	2.4	2.0					
	熱 影 響 部 (Core)	18.6	17.4	13.1	9.3	3.4	4.7	1.4				-19	-12
		17.4	17.0	11.0	8.0	5.2	1.9	1.6					
		(18.2)	(17.1)	(12.8)	(7.8)	(4.7)	(3.0)	(1.7)					
					22.8	20.6	14.0	3.0	1.6	1.1			
					23.6	19.0	14.6	7.2	1.2	0.7			
SMA50B (t=38)	溶着 金属 (Rim)	23.2	23.4	11.6	5.7	1.8	0.8					-47	-43
		(23.2)	(21.0)	(13.4)	(5.3)	(1.5)	(0.9)						
					22.5	19.5	16.1	11.0	3.2	3.4	1.4		
					24.6	21.4	15.3	6.9	5.8	1.3	0.9	43	-51
					23.4	23.9	18.1	8.1	3.6	1.9	1.4		
	熱 影 響 部 (Core)	(23.5)	(21.6)	(16.5)	(8.7)	(4.2)	(2.1)	(1.2)					
					17.2	13.0	10.9	6.5	4.1	1.8	1.5		
					17.4	13.7	9.9	8.0	4.9	2.2	1.0		
					18.6	14.9	9.5	5.6	2.9	3.2	2.3		
					(17.7)	(13.9)	(10.1)	(6.7)	(4.0)	(2.4)	(1.6)		
SMA50B (t=25)	溶着 金属 (Rim)	18.8	17.5	11.1	7.9	3.3	3.7	1.5				-24	-
		18.9	17.0	16.0	8.4	7.2	2.7	2.2					
		18.1	15.6	13.4	8.9	3.9	2.4	1.8					
		(18.6)	(16.7)	(13.5)	(8.4)	(5.0)	(2.9)	(1.8)					
					17.0	18.6	16.3	13.3	9.3	4.5	2.9		
	熱 影 響 部 (Core)	19.4	16.3	12.6	8.8	5.2	2.5	2.2				-39	-
		22.1	17.7	13.7	6.4	5.0	6.5	4.2					
		(19.5)	(17.5)	(14.2)	(9.5)	(6.5)	(4.5)	(3.1)					
					21.6	18.0	6.4	1.5	0.9	1.7			
					16.9	16.4	7.9	5.9	3.1	1.7	0.6		
SMA50B (t=25)	溶着 金属 (Rim)	17.6	10.3	10.6	3.3	2.7	1.7	1.0				+1	-
		(18.7)	(14.9)	(8.3)	(4.5)	(2.4)	(1.4)	(1.1)					
					15.8	12.1	8.4	2.4	0.9	0.7			
					15.4	11.6	7.5	5.7	3.0	1.9	0.6		
					15.7	10.2	8.7	6.1	3.9	1.4	1.1		
	熱 影 響 部 (Core)	(15.6)	(11.3)	(8.2)	(5.4)	(3.1)	(1.4)	(0.8)				+4	-
					18.1	13.8	11.3	5.3	4.4	1.5	1.1		
					18.1	17.8	12.2	9.3	4.8	2.2	1.0		
					18.5	17.9	10.7	10.1	1.8	1.4	1.5		
					(18.3)	(16.5)	(11.4)	(6.9)	(3.7)	(2.7)	(1.2)		
SMA41C (t=50)	溶着 金属 (Rim)	21.4	21.4	14.8	13.1	5.7	4.3	0.8				-55	-
					24.2	20.3	15.8	9.7	9.5	2.5	0.7		
					22.1	18.0	17.1	11.1	4.6	2.2	1.5		
					(22.6)	(19.9)	(15.9)	(11.3)	(6.6)	(3.0)	(1.0)		
					19.5	12.8	12.0	6.5	1.0	0.9			
	熱 影 響 部 (Core)	23.4	14.9	14.9	13.4	8.1	3.1	0.9				31	-
					20.7	19.1	4.9	2.5	4.3	0.7			
					(21.2)	(15.6)	(10.1)	(5.7)	(2.8)	(0.8)			
					22.8	21.2	16.2	6.4	2.3	1.1			
					21.3	20.3	12.3	8.2	0.7	2.3			
SS 41 (t=22)	溶着 金属 (Rim)	22.3	19.3	14.4	4.3	1.4	1.1					26	-29
					22.9	17.8	10.9	7.4	1.5	0.9			
					19.7	20.9	4.4	10.0	1.3	0.7			
					19.3	16.6	18.4	7.3	3.8	0.8			
					(20.6)	(18.4)	(11.2)	(6.2)	(2.2)	(0.8)			
	熱 影 響 部 (Core)	22.8	21.2	16.2	6.4	2.3	1.1					-45	-54
					21.3	20.3	12.3	8.2	0.7	2.3			
					22.3	19.3	14.4	4.3	1.4	1.1			
					(22.1)	(20.3)	(14.8)	(6.3)	(1.5)	(1.5)			
					17.8	17.5	12.0	14.8	0.7	2.5			
SMA41C (t=50)	溶着 金属 (Rim)	17.5	18.1	17.4	17.2	0.8	1.0					13	14
					18.8	18.0	16.5	19.6	1.6	1.5			
					(18.0)	(17.9)	(15.3)	(17.2)	(1.0)	(1.7)			
					18.4	8.4	1.8	1.0	1.4	0.6			
					18.7	12.0	2.4	1.5	0.5	0.8			
	熱 影 響 部 (Core)	17.5	8.9	2.4	0.9	0.9	0.4					-14	-23
					(18.2)	(9.8)	(2.2)	(1.1)	(0.9)	(0.6)			
					28.5	15.5	9.1	2.0	0.8	0.9			
					22.4	17.8	9.4	1.4	1.8	0.7			
					18.7	21.5	8.2	8.7	3.0	0.3			
SS 41 (t=22)	溶着 金属 (Rim)	(23.2)	(18.3)	(8.9)	(4.0)	(1.0)	(1.9)					10	-28
					18.5	20.6	10.0	1.9	1.0	0.8			
					18.1	9.0	14.0	12.0	1.2	2.4			
					18.9	16.0	7.9	1.6	4.2	2.2			
					(18.5)	(15.8)	(9.4)	(5.2)	(2.1)	(1.2)			
	熱 影 響 部 (Core)	15.8	8.2	2.8	6.7	0.8	0.8					10	-
					14.2	12.1	15.1	3.0	0.8	1.0			
					17.1	21.1	5.6	8.2	1.1	0.4			
					(15.7)	(13.8)	(7.8)	(6.0)	(0.9)	(0.8)			

表 17-(c) 手溶接突合せ溶接継手衝撃試験結果

( )内数字は平均値を示す

鋼種 (板厚mm)	切欠 位置	採取 位置	衝 撃 値 (kg·m)								Trs (°C)	Tck (°C)
			20°C (E 0)	20 (E 20)	-40 (E 40)	-60 (E 60)	-80 (E 80)	-100 (E 100)	-120 (E 120)			
SMA41C (t=50)	溶着 金属 (Rim)	23.4	19.5	7.7	2.4	0.6	1.0				-17	-16
		16.0	15.5	12.7	9.2	1.3	1.0					
		27.2	5.2	18.9	9.4	1.8	0.4					
		(22.2)	(13.4)	(13.1)	(5.7)	(1.2)	(0.8)					
					22.9	17.8	10.9	7.4	1.5	0.9		
	熱 影 響 部 (Core)	19.7	20.9	4.4	10.0	1.3	0.7				-23	-31
		19.3	16.6	18.4	7.3	3.8	0.8					
		(20.6)	(18.4)	(11.2)	(6.2)	(2.2)	(0.8)					
					22.8	21.2	16.2	6.4	2.3	1.1		
					21.3	20.3	12.3	8.2	0.7	2.3		
SS 41 (t=22)	溶着 金属 (Rim)	23.4	19.5	7.7	2.4	0.6	1.0				13	14
		16.0	15.5	12.7	9.2	1.3	1.0					
		27.2	5.2	18.9	9.4	1.8	0.4					
		(22.2)	(13.4)	(13.1)	(5.7)	(1.2)	(0.8)					
					22.9	17.8						

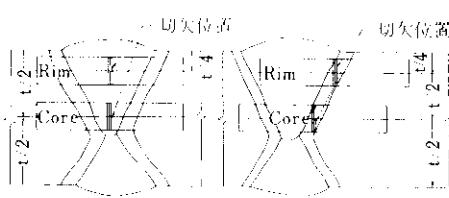


図 19 衝撃試験片の採取要領

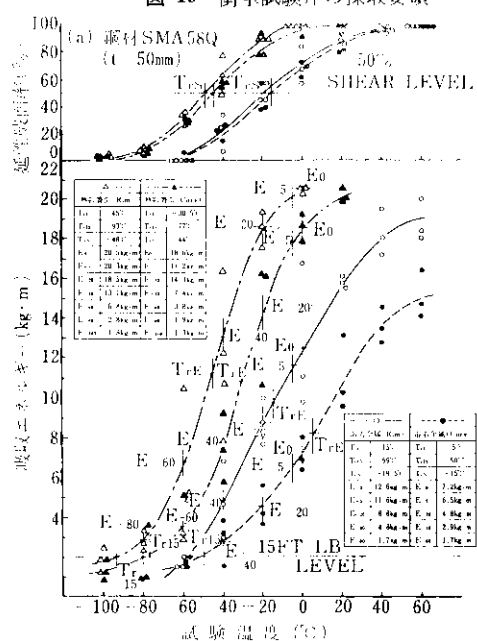


図 20-(a) 手溶接突合せ溶接継手衝撃試験結果

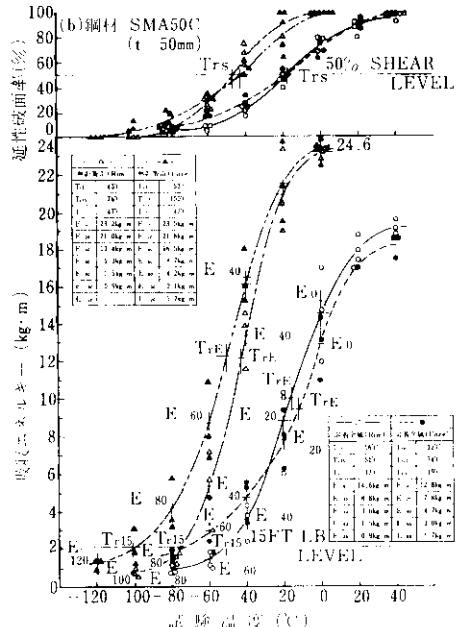


図 20-(b) 手溶接突合せ溶接継手衝撃試験結果

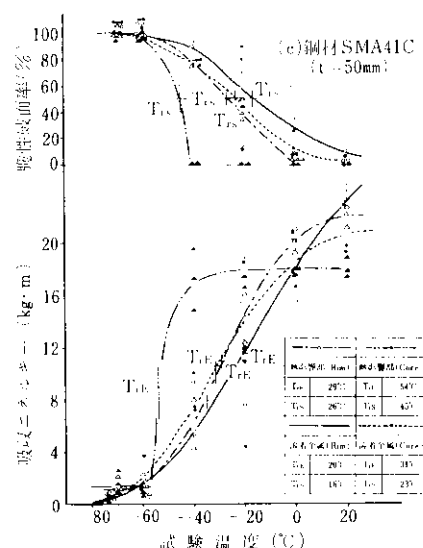
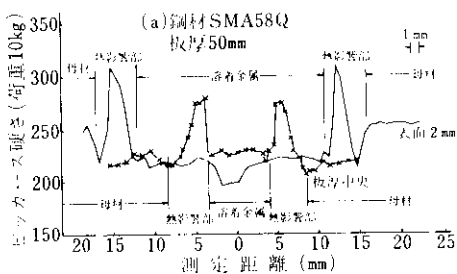
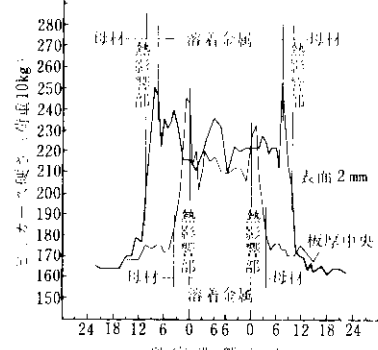


図 20-(c) 手溶接突合せ溶接継手衝撃試験結果



(a) 鋼材 SMA58Q



(b) 鋼材 SMA50C

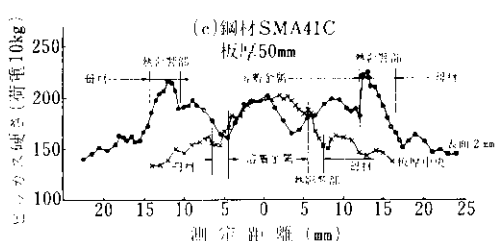


図 21 手溶接突合せ溶接継手断面応力分布

表 18-(a) 各試験材のサブマージアーク溶接条件

鋼種 (板厚)	層数	電流 (A)	電圧 (V)	速度 (mm/min)	熱線 (J/cm) × フラックス
SMA58Q (50mm)	1	680	33	300	
	2	800	35	300	
	3	850	36	300	
	4~5	780	35	320	45,000
	6	840	34	300	
	7	800	36	300	61,000
	8~9	840	35	300	
	10	800	35	300	
	11	780	35	300	
	12	700	34	320	
	1	680	31	420	
	2	800	34	300	
SMA58Q (38mm)	3	860	34	300	30,000
	4	750	33	380	
	5	700	34	400	62,000
	6	800	33	400	
	7	880	35	300	
	8	850	35	300	
	1	700	33	280	
	2	750	34	280	50,000
	3	780	34	300	
	4	810	36	300	58,000

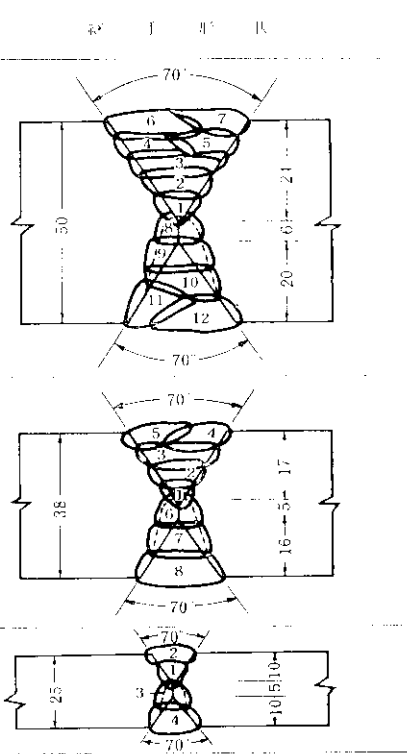
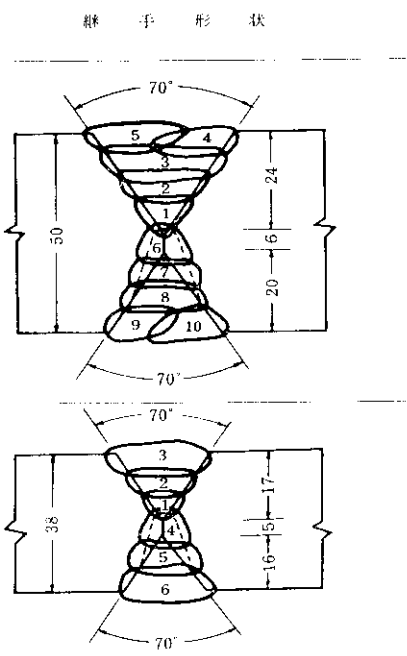


表 18-(b) 各試験材のサブマージアーク溶接条件

鋼種 (板厚)	層数	電流 (A)	電圧 (V)	速度 (mm/min)	熱線 (J/cm) × フラックス
SMA50C (50mm)	1	740	30	430	
	2	860	32	220	
	3	850	35	300	
	4~5	810	34	390	31,000
	6	800	32	350	
	7~8	850	35	300	75,000
	9	800	34	350	
	10	820	34	390	
	1	700	32	420	
	2	800	34	300	
	3	850	35	290	33,000
	4	800	33	380	
SMA50B (38mm)	5	850	34	300	62,000
	6	860	35	290	



SMA50B (25mm)	1	750	32	300	48,000	US-36 (4.8mmφ) MF-38 (20×D)
	2	960	33	280	68,000	

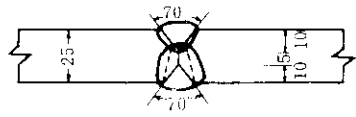


表 18-(c) 各試験材のサブマージアーク溶接条件

鋼種 (板厚)	層数	電流 (A)	電圧 (V)	速度 (mm/min)	入熱 (J/cm)	心線 × フラックス	継手形状	
SMA41C (50mm)	1	650	31	450	27,000	KW-43(4.8mmφ) KB50Cu(20×D)		
	2	800	33	350				
	3	900	34	300				
	4	350	36	250	73,000	KW-43(4.8mmφ) KB50Cu(20×D)		
	5	900	31	400				
	6	850	32	400				
	7	800	34	300				
	8-9	850	32	350				
	1	680	31	280	45,000	KW-43(4.8mmφ) KB50Cu(20×D)		
	2	950	32	300				
	3	700	31	280				
	4	950	32	300				

定した。測定結果の代表例を図21(a), (b), (c)に示すが、いずれも問題はない。

## (2) サブマージアーク溶接突合せ溶接継手性能試験

表18に示す溶接条件にもとづき、各試験材の溶接継手性能試験を行なった。

### i) 継手引張試験結果

JIS Z3121 の規定にもとづき、1号試験片を用いて行なった。その結果を表19に示す。引張特性において母材規格値を下まわるものはなく、いずれも良好な結果を示した。

### ii) 継手型曲げ試験結果

表 19 サブマージアーク溶接突合せ溶接継手引張試験結果

鋼種	板厚 (mm)	引張強さ (kg/mm <sup>2</sup> )	試験 溶着金属	破断強さ (kg/mm <sup>2</sup> )
SMA58Q	50	70.4	溶着金属	"
	38	71.4		"
	38	70.7		"
	25	71.3		"
SMA50C	50	67.3	母材	"
	50	66.8		"
	58.3	58.3		"
SMA50B	50	58.3	溶着金属	"
	50	60.6		"
	38	60.3		"
SMA41C	50	61.7	母材	"
	50	60.6		"
	47.0	47.0		"
耐候鋼SS41	50	49.0	溶着金属	"
	22	46.9		"
		46.7		"

JIS Z3122にもとづき、側面げ3号試験片を用いて行なった。表面の割れは認められず、すべて良好であった。

### iii) 衝撃試験結果

表 20-(a) サブマージアーク溶接突合せ溶接継手衝撃試験結果

鋼種 (板厚mm)	切欠 位置	採取 位置	衝 撃 値 (kgf·m)						Trs (°C)	Tpe (°C)	
			40	20	0	-20	-40	-60	-80		
SMA58Q (t=50)	溶着 金属	t=4 (Rim)	10.9	9.7	6.8	5.2	2.9	2.1	1.0	-12 -5	-36 -21
		t=2 (Core)	10.5	8.9	6.8	3.7	2.5	1.2	1.0		
		t=4 (Rim)	9.5	8.1	5.6	4.0	2.4	1.2	0.6		
		t=2 (Core)	10.3	8.9	6.4	4.3	2.6	1.5	0.9		
		t=4 (Rim)	9.0	6.6	5.9	3.0	1.7	1.1	0.5		
	熱影響部	t=2 (Core)	9.0	6.6	4.4	4.2	2.5	2.5	0.9	0.6	36 21
		t=4 (Rim)	15.3	11.7	7.5	4.9	2.6	1.6	1.5	-4 -4	-35 -25
		t=2 (Core)	17.4	18.0	9.4	6.4	3.4	2.5	0.7		
		t=4 (Rim)	18.9	16.1	9.5	5.8	5.0	1.3	1.7		
		t=2 (Core)	17.2	13.3	8.8	5.7	3.7	1.8	1.3		
SMA58Q (t=38)	溶着 金属	t=4 (Rim)	19.2	18.2	8.3	10.1	2.1	1.2	0.5	-12 -17	-35 -26
		t=2 (Core)	20.6	14.5	20.3	7.4	4.5	2.6	0.6		
		t=4 (Rim)	19.3	19.5	7.2	2.3	3.9	1.0	0.8		
		t=2 (Core)	19.2	17.4	11.9	6.6	3.5	1.6	0.6		
		t=4 (Rim)	12.1	10.1	6.4	4.5	2.8	1.5	0.8		
	熱影響部	t=2 (Core)	11.1	8.6	6.4	3.0	1.3	1.3	0.5	-35 -30	-64 -65
		t=4 (Rim)	11.6	8.0	6.1	5.1	3.4	1.4	0.8		
		t=2 (Core)	11.6	8.9	6.3	4.2	2.5	1.4	0.7		
		t=4 (Rim)	10.1	8.9	5.4	4.4	3.4	1.5	0.5		
		t=2 (Core)	10.6	8.7	6.5	4.5	2.7	1.6	0.5		
SMA58Q (t=25)	溶着 金属	t=4 (Rim)	17.8	15.3	9.5	8.0	4.4	2.1	1.3	-12 -18	-35 -25
		t=2 (Core)	17.4	16.0	15.6	6.9	4.4	1.8	1.6		
		t=4 (Rim)	15.4	13.1	9.4	6.7	3.8	3.0	1.5		
		t=2 (Core)	16.9	14.8	11.5	7.2	4.2	2.3	1.5		
		t=4 (Rim)	11.8	10.2	8.7	5.7	3.4	1.3	1.3		
	熱影響部	t=2 (Core)	9.4	10.3	8.7	6.2	4.4	3.2	1.0	-4 -4	-64 -65
		t=4 (Rim)	11.5	9.2	7.5	6.4	4.2	2.1	1.3		
		t=2 (Core)	10.9	9.9	8.3	6.1	4.0	2.2	1.2		
		t=4 (Rim)	9.4	8.5	6.9	5.3	3.8	1.9	1.3		
		t=2 (Core)	9.2	8.2	6.9	4.9	3.6	2.2	0.4		
SMA58Q (t=25)	溶着 金属	t=4 (Rim)	10.3	8.7	7.3	5.4	3.7	2.5	1.3	-12 -20	-35 -25
		t=2 (Core)	9.6	8.5	7.0	5.2	3.7	2.2	1.0		
		t=4 (Rim)	21.9	21.9	17.5	11.4	4.9	4.4	0.8		
		t=2 (Core)	21.4	17.9	19.2	9.7	8.6	2.4	1.3		
		t=4 (Rim)	20.8	21.1	16.7	17.0	6.3	1.9	0.6		
	熱影響部	t=2 (Core)	21.1	20.3	17.8	12.7	6.6	2.9	0.9	-49 -45	-64 -65
		t=4 (Rim)	21.7	17.1	12.0	12.6	7.1	4.6	0.8		
		t=2 (Core)	20.8	19.5	18.7	7.1	5.4	3.2	2.4		
		t=4 (Rim)	22.3	20.1	14.8	7.1	4.9	3.0	2.9		
		t=2 (Core)	21.6	18.9	13.5	8.9	5.8	3.6	2.0		

表 20-(b) サブマージアーク溶接突合せ溶接継手衝撃試験結果

鋼種 (板厚mm)	切欠 位置	採取 位置	衝 撃 値 (kgf·m)						Trs (°C)	Tpe (°C)
			40	20	0	-20	-40	-60		
SMA50C (t=50)	溶着 金属	t=4 (Rim)	13.9	7.7	6.0	3.5	1.8	0.6	-17 -15	-35 -27
		t=2 (Core)	12.6	12.5	5.3	2.8	2.0	0.6		
		t=4 (Rim)	11.9	8.6	7.0	4.5	1.3	0.6		
		t=2 (Core)	12.8	9.6	6.1	3.6	1.7	0.6		
		t=4 (Rim)	13.5	9.8	8.6	4.4	3.0	1.2	0.4	
	熱影響部	t=2 (Core)	13.6	13.1	7.9	5.1	3.4	1.0	0.2	-35 -27
		t=4 (Rim)	13.3	11.0	8.4	5.8	2.0	1.4	0.5	
		t=2 (Core)	24.0	19.8	11.2	10.0	2.6	0.6	-45 -45	
		t=4 (Rim)	22.0	20.6	20.3	2.9	2.0	0.6		
		t=2 (Core)	22.4	21.7	14.4	6.6	2.0	0.9	0.7	
SMA50C (t=25)	溶着 金属	t=4 (Rim)	23.7	23.0	12.5	8.3	5.2	1.6	-63 -63	-63
		t=2 (Core)	21.5	18.9	13.4	14.2	2.7	0.9		
		t=4 (Rim)	23.5	18.5	20.7	16.8	2.9	0.5		
	熱影響部	t=2 (Core)	32.9	21.5	18.9	13.1	3.6	1.0	-63 -63	-63
		t=4 (Rim)	27.0	22.4	12.0	6.5	2.2	0.7		
		t=2 (Core)	23.7	23.0	12.5	8.3	5.2	1.6		

		14.3	10.2	8.5	6.4	5.2	2.5	1.2			
溶着金属	t/4 (Rim)	13.8	12.5	7.9	2.9	2.4	1.4	0.9		-27	-3
		14.7	11.9	7.6	6.9	2.4	1.2	0.8			
		(14.3)	(11.5)	(8.0)	(5.4)	(3.3)	(1.7)	(1.0)			
		13.9	13.0	11.3	8.5	4.8	1.8	0.8			
SMA 50B (t=38)	t/2 (Core)	14.0	13.7	12.2	6.9	5.0	3.2	0.6		-36	-29
		13.7	12.2	8.9	8.6	4.8	1.7	0.6			
		(13.9)	(13.0)	(10.8)	(8.0)	(4.9)	(2.2)	(0.7)			
		19.8	18.7	12.2	9.6	11.0	1.5				
熱影響部	t/4 (Rim)		19.5	18.4	16.6	13.7	2.9	3.0		-50	-59
			18.9	18.7	18.2	7.3	5.5	1.3			
		(Core)	19.0	14.0	10.4	3.2	2.2	0.5	0.4		
		(19.6)	(15.3)	(9.2)	(4.3)	(1.7)	(0.5)	(0.3)			
溶着金属	t/4 (Rim)	13.8	7.2	4.8	2.0	2.0	0.8				
		10.1	8.0	5.9	4.6	1.0	0.8			+5	-
		8.8	8.7	4.9	3.0	1.5	0.6				
		(10.9)	(8.0)	(5.2)	(3.2)	(1.5)	(0.7)				
SMA 50B (t=25)	t/2 (Core)	9.4	5.6	5.5	2.0	2.7	1.3				
		8.5	6.4	3.7	5.0	1.7	2.0			+10	-
		9.7	7.8	4.6	2.0	1.7	1.5				
		(9.2)	(6.6)	(4.6)	(3.0)	(2.0)	(1.6)				
熱影響部		20.6	14.9	11.4	7.0	3.9	2.0	0.9			
	t/4 (Rim)	18.4	18.3	8.6	5.0	3.2	2.0	1.1		-9	-
		16.6	13.8	10.0	5.1	3.4	2.0	1.2			
		(18.5)	(15.7)	(10.0)	(5.7)	(3.5)	(2.0)	(1.1)			
SMA 50B (t=25)	t/2 (Core)	8.6	11.1	8.6	4.8	2.7	0.6			-26	-
		19.5	9.1	7.4	4.6	2.2	0.8				
		16.1	12.5	7.1	4.7	1.8	0.7				
		(14.7)	(10.9)	(7.7)	(4.7)	(2.2)	(0.7)				

表 20—(c) サブマージアーク溶接突合せ溶接継手衝撃試験結果

鋼種	切欠位置	試験片採取位置	(kg·m)								vTrs (°C)	vTris (°C)	
			30°C	20°C	0°C (E <sub>0</sub> )	-10°C (E-10)	-20°C (E-20)	30°C (E-30)	-40°C (E-40)	50°C (E-50)	-60°C (E-60)	-78°C (E-78)	
SMA 41C (t=50)	溶着金属	t/4 (Rim)	15.8	13.3	11.1			10.0		3.4	0.9		
			14.7	14.4	9.4			13.4		2.3	3.4	-16	-75
			14.9	13.4	10.6			4.0		3.3	2.8		
			(15.1)	(13.7)	(10.4)			(9.1)		(3.0)	(2.4)		
	t/2 (Core)	16.1		16.3	15.4	8.1			5.4	1.5			
			16.8		15.3	13.1	14.3		14.4	1.7	-38	-78	
			17.1		16.5	14.1	14.0		13.2	2.0			
			(16.7)		(16.0)	(14.2)	(12.1)		(11.0)	(1.9)			
耐候性 SS 41 (t=22)	熱影響部	t/4 (Rim)	17.1		11.2			5.1	1.1	0.6	0.9		
			16.5		12.0			0.9	1.0	0.7	0.9	-14	-45
			18.0		7.9			5.7	0.8	1.1	1.7		
			(17.2)		(10.4)			(3.9)	(1.0)	(0.8)	(1.2)		
	t/2 (Core)	20.4		19.2	17.2	2.9			23.0	5.1			
			22.5		19.2	22.2	1.8		18.2	16.5	-33	<-60	
			20.4		20.3	8.2	3.8		1.7	2.6			
			(21.1)		(19.6)	(18.0)	(2.8)		(11.2)				
	溶着金属	t/4 (Rim)	10.9	6.7	5.8	3.6		1.3		1.3			
			8.4	4.7	4.5	2.4		1.1		1.1		28	-24
			9.6	5.4	5.2	1.6		2.3		0.9			
			(9.6)	(5.6)	(5.2)	(2.5)		(1.5)		(1.1)			
	t/2 (Core)	8.0		9.0		11.0		2.8		2.9			
			11.6		7.7	3.3		3.5		2.9		2	<-60
			11.2		11.4	8.5		2.9		2.9			
			(10.2)	(9.4)	(7.6)	(3.1)		(2.9)					
	熱影響部	t/4 (Rim)	9.7	5.6		4.5		0.9		1.3			
			16.1	8.3		2.2		3.1		0.8		4	-39
	t/2 (Core)	15.7	9.9		6.0		2.1		0.8				
			(13.8)	(7.9)	(4.2)	(2.0)		(1.0)				-9	-51
			16.4	17.6		10.5	1.6	4.9		1.8			
			10.1	10.5		9.1	10.8	1.0		0.6			
			14.0	12.8		3.6	2.0	1.4		0.9			
			(13.5)	(13.6)	(7.7)	(9.8)	(2.4)	(1.1)					

および切欠位置は図19と同様である。試験は、  
-100°Cから+40°Cの間で20°Cおきに行ない、

遷移曲線を求めた。試験結果を表20に、遷移曲線の代表例を図22(a), (b), (c), (d)に示す。

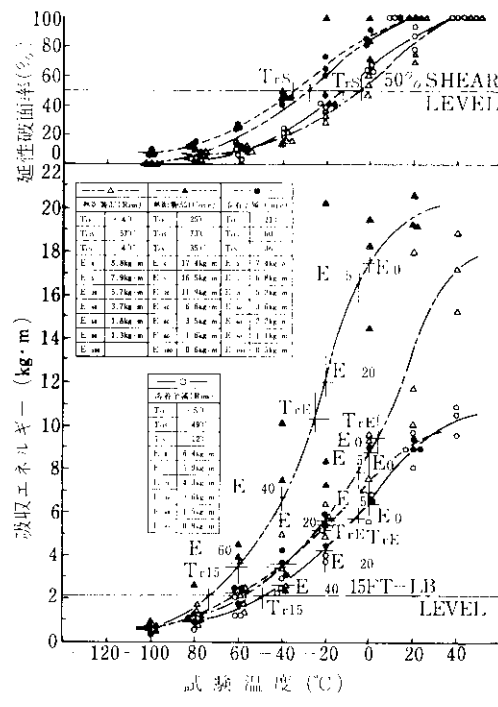
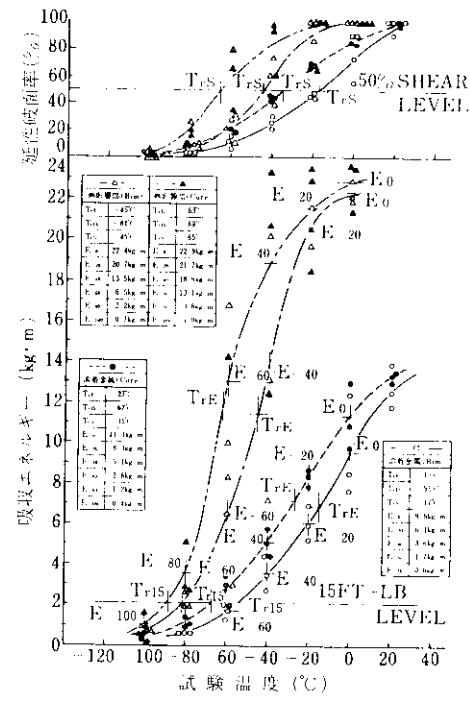
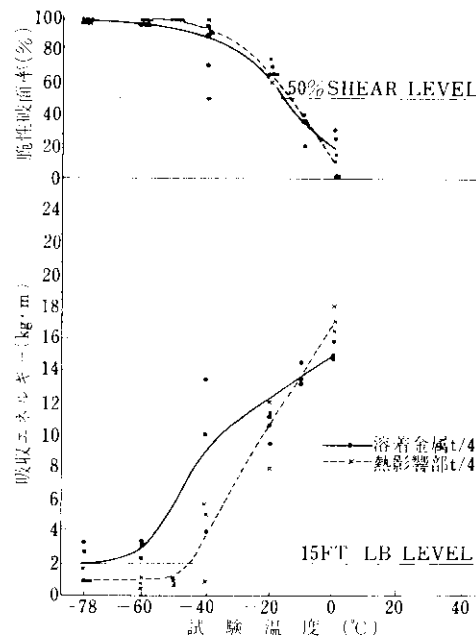
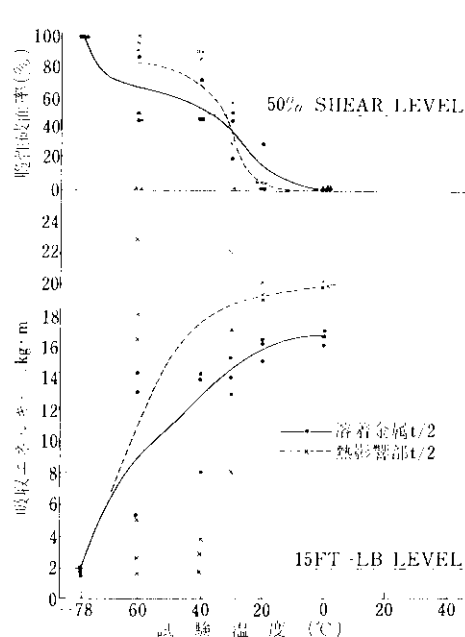
(a) 鋼材SMA58( $t=50\text{mm}$ )(b) 鋼材SMA50C( $t=50\text{mm}$ )(c) 鋼材SMA41C( $t=50\text{mm}$ )(d) 鋼材SMA41C( $t=50\text{mm}$ )

図 22 サブマージアーク溶接突合せ溶接継手衝撃試験結果

いづれの鋼種についても母材規格値を十分満足しており良好な結果を示している。

#### iv) 断面硬さ試験結果

試験結果の代表例 ( $t = 50\text{mm}$ ) を図23(a), (b), (c)に示す。いづれの鋼種板厚についても溶接部の硬さ分布で特に異常硬化はみられず問題はない。

#### (3) 消耗ノズル式エレクトロスラグ溶接突合せ溶接継手性能試験

SMA58Qの板厚38および50mmについてのみ行なった。表21に溶接材料および溶接条件を示す。

##### i) 継手引張試験結果

JIS Z3121の1号試験片を用いて行なった。

その結果を表22に示す。板厚38, 50mmとも規格値を満足しており良好な結果を示した。

##### ii) 継手型曲げ試験結果

JIS Z3122の側曲げ試験片を用いて行なった。いづれの鋼種についても表面欠陥は認められなか

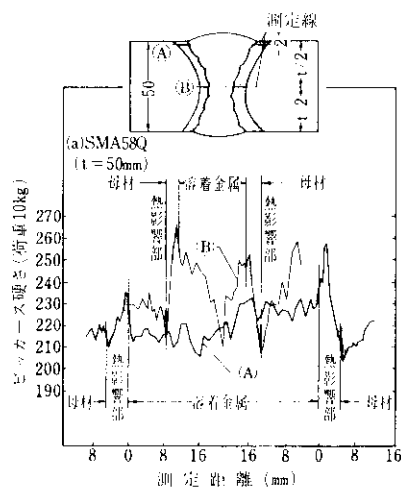


図 23—(a) サブマージアーク溶接突合せ溶接継手断面の硬さ分布

った。

#### iii) 衝撃試験結果

衝撃試験片は溶着金属の中央部および熱影響部

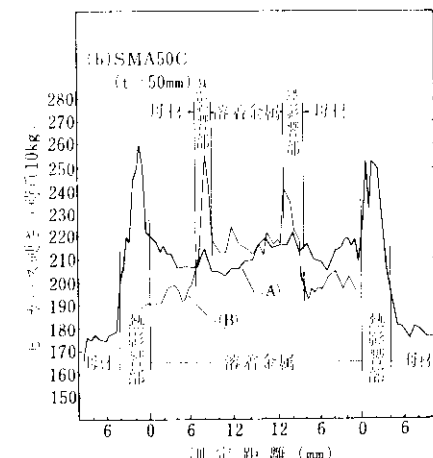


図 23—(b) サブマージアーク溶接突合せ溶接継手断面の硬さ分布

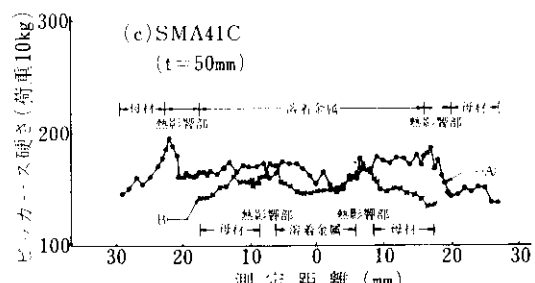


図 23—(c) サブマージアーク溶接突合せ溶接継手断面の硬さ分布

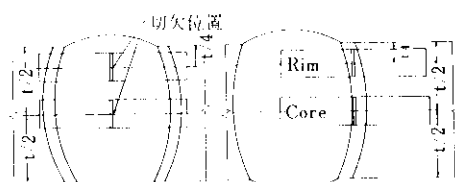


図 24 衝撃試験片採取要領

表 21 溶接材料および溶接条件

鋼種 (板厚)	心線	フュックス	電流 (A)	電圧 (V)	速度 (mm/min)	継手形状
SMA58Q (50mm) (3.2mmφ)	ES65	MF38 (12×65)	600	38	18	
SMA58Q (38mm) (3.2mmφ)	ES65	MF38 (12×65)	600	36	27	

表 22 エレクトロスラグ溶接突合せ溶接継手引張試験結果

継手種	板厚 (mm)	引張り試験		
		引張り強さ (kg/mm <sup>2</sup> )	破断位置	試験材
	50	71.0	母材	
SMA58Q	—	71.7	溶着金属	
	38	69.4	母材	
	—	72.2	溶着金属	

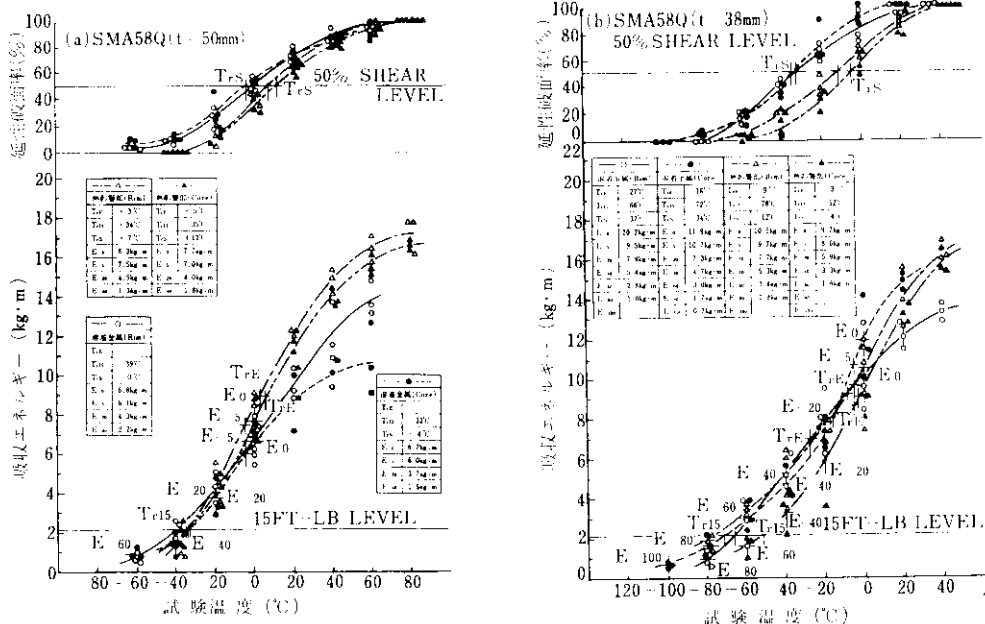


図 25 エレクトロスラグ溶接突合せ溶接継手衝撃試験結果

の板厚の $\frac{1}{4}$ と $\frac{1}{2}$ より図24に示す要領により採取した。試験は板厚50mmでは $-60^{\circ}\text{C}$ から $+80^{\circ}\text{C}$ , 38 mmでは $-100^{\circ}\text{C}$ から $+40^{\circ}\text{C}$ まで $20^{\circ}\text{C}$ おきに行ない、遷移曲線を求めた。その結果を、図25(a), (b)に示す。どの板厚についても母材規格値( $E_{-5} \geq 4.8 \text{ kg} \cdot \text{m}$ )を十分満足しており問題ではない。

#### iv) 断面硬さ試験結果

硬さ分布を図26に示すが、ビッカース硬さはいずれも約250以下で、350をはるかに下まわっており問題はないといえる。

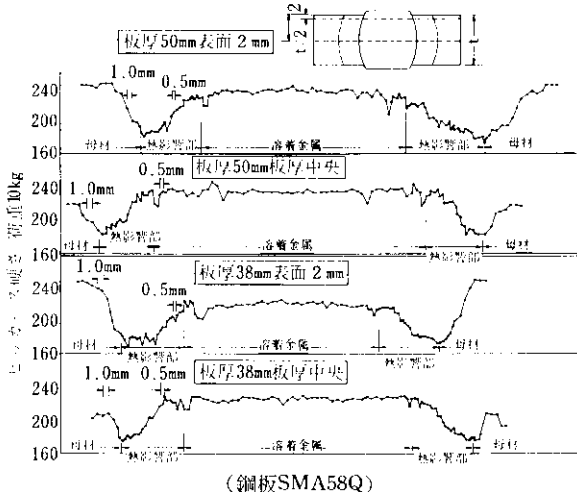


図 26 エレクトロスラグ溶接部の硬度分布

表 23 十字溶接継手の溶接条件

鋼種	溶接棒	電流(A)	電圧(V)	速度(mm/min)	溶接方法
SMA58Q (t=50)	K86Cu (4.5mmφ)	170~190	22~24	180~220	手溶接
SMA58Q (t=50)	L-BW52 (神鋼) (4.5mmφ)	(210~250)	(24~27)	(150~200)	
SMA58C (t=50)	US 49(4.8mmφ, 6.4mmφ)				サブマージ アーケト溶接
SMA58B (t=25)	MF 38 (20×200)	650~800	33~38	350~500	
SMA58Q (t=50)	ES 65 (3.2mmφ)				消耗ノズル式 エレクトロスラグ溶接
SMA58Q (t=50)	MF 38 (12×65)	500~600	35~42	40~55	

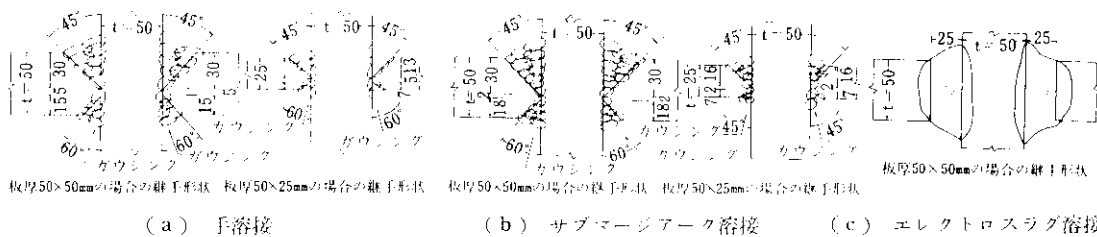
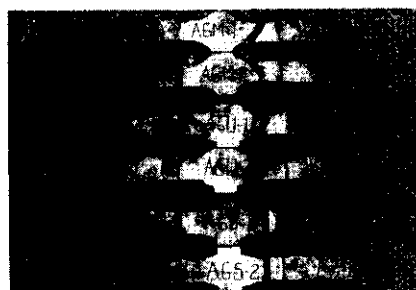
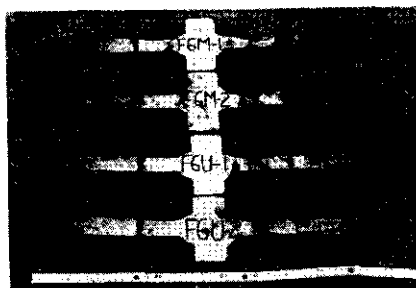


図 27 十字溶接継手開先形状

## 3.5 十字型溶接継手性能試験

十字型溶接継手では、手溶接、サブマージアーク溶接および消耗ノズル式エレクトロスラグ溶接の各十字型継手の性能について調査した。溶接施工は表23に示す溶接条件に基づいて行なった。開先形状は図27に示す。

(a) SMA58Q,  $t = 50 \times 50\text{mm}$ (b) SMA50C  
写真 5 十字型継手引張試験片の破断形状

## (1) 十字引張試験

図28に示す形状寸法の試験片を室温にて引張って破断させその引張強さおよび破断位置を測定した結果を表24に、破断した試験片の形状を写真5に示す。いずれも破断位置は母材であり、また引張特性も良好な結果を示した。

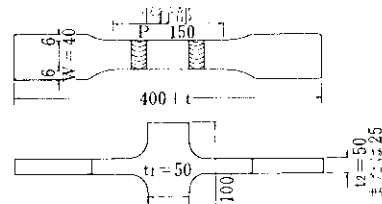


図 28 十字型引張試験片形状寸法

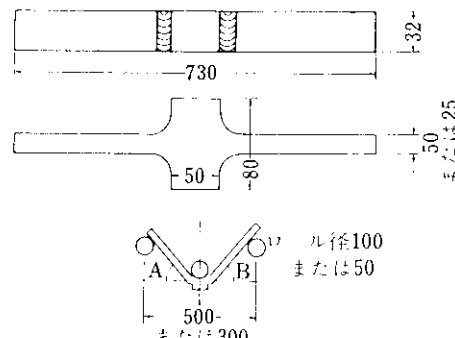


図 29 十字型曲げ試験片形状寸法

表 24 十字型溶接継手引張試験結果

鋼種	記号	試験片寸法			最大荷重 kg	引張強さ kg/mm <sup>2</sup>	破断位置	平均引張強さ kg/mm <sup>2</sup>	溶接方法
		厚さmm	巾mm	断面積cm <sup>2</sup>					
SMA50B	F 6 M 1	25.3	39.6	1001.9	55,400	54.4	母材	54.6	手溶接
	C	25.4	40.2	1021.1	55,600	54.8	"	54.7	サブマージ アーク溶接
SMA50B	F 6 U 1	25.3	39.6	1001.9	55,000	54.9	"	54.7	サブマージ アーク溶接
	C	25.4	40.2	1021.1	55,600	54.5	"	54.7	サブマージ アーク溶接
SMA58Q	A 6 M 1	50.9	39.9	2030.9	148,000	72.9	"	72.95	手溶接
	2	50.8	39.9	2026.9	148,000	73.0	"	72.95	手溶接
SMA58Q	A 6 U 1	50.5	40.0	2020.0	148,400	73.5	"	73.6	サブマージ アーク溶接
	2	50.5	39.9	2015.0	148,600	73.7	"	73.6	サブマージ アーク溶接
SMA58Q	A 6 S 1	49.9	40.0	1996.0	136,400	68.3	"	69.4	エレクトロ スラグ溶接
	2	49.8	39.6	1972.1	139,000	70.5	"	69.4	エレクトロ スラグ溶接

表 25 十字型溶接継手曲げ試験結果

鋼種	記号	板厚	最大荷重kg	最大荷重平均kg	割れの状況	溶接の種類
SMA50B C	F 6 M - 1	25mm	7,600	7,700	無なし	手溶接
	- 2	25mm	7,800			
SM A50B C	F 6 U - 1	25mm	8,250	8,350	サブマージ	アーケト溶接
	- 2	25mm	8,450			
SMA58Q	A 6 M - 1	50mm	17,500	18,500	無なし	手溶接
	- 2	50mm	19,500			
SMA58Q	A 6 U - 1	50mm	19,000	19,150	サブマージ	アーケト溶接
	- 2	50mm	19,300			

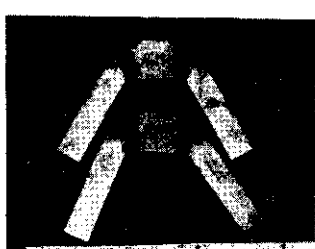
(a) SMA58Q  $t = 50 \times 50\text{mm}$ (b) SMA50C, B,  $t = 50 \times 25\text{mm}$ 

写真 6 十字型継手曲げ試験片の曲り形状

## (2) 十字曲げ試験

図29に示す形状寸法の試験片により、室温でアムスラー試験機の曲げ治具を用い、初めに溶接した側を下にして最大曲げ角度 ( $A + B$ ) = 120°まで曲げ、スパンなどについても、JIS Z3134 (T形スミ肉溶接継手の曲げ試験) を参考にして行なった最大荷重および亀裂発生の有無を調べた結果を表25に、曲げ試験片の曲り形状を写真6に示すが、割れは認められず良好な結果を示している。

## (3) 断面硬さ試験

断面硬さ試験は、継手断面の溶着金属表面より 2 mm 入った部分の硬さ分布をビッカース (荷重10 kg) で測定した。エレクトロス

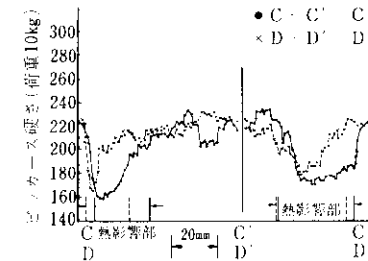
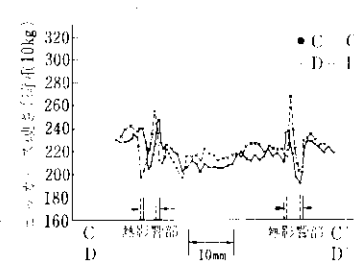
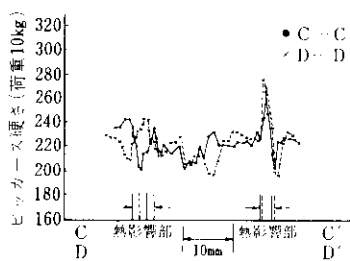
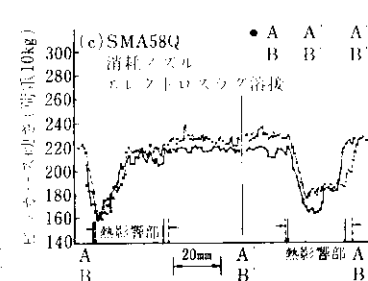
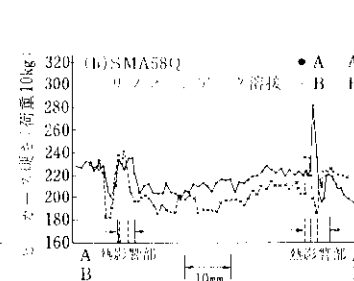
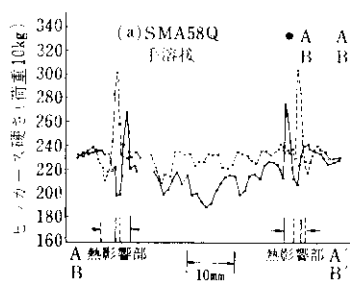
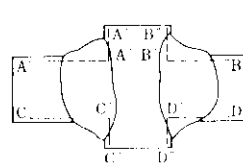
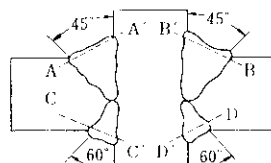
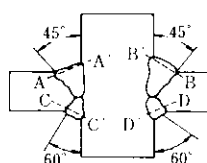


図 30-(a), (b), (c) 十字型継手断面硬度試験結果

ラグ溶接の試験材は溶接部が他と異なった形状をしているため素材表面に平行に測定した。測定結果を図30(a), (b), (c), (d), (e)に示す。手溶接、サブマージアーク溶接では熱影響部ボンド側に硬さのピークがある。その値はSMA50B×Cでは260程度、SMA58Qでは280程度でありいずれも手溶接に比べて、サブマージアーク溶接の方が低い方へずれている。これに対してエレクトロスラグ溶接では硬化した部分がなく、逆に熱影響部母材側に軟化ゾーンが一部認められる。

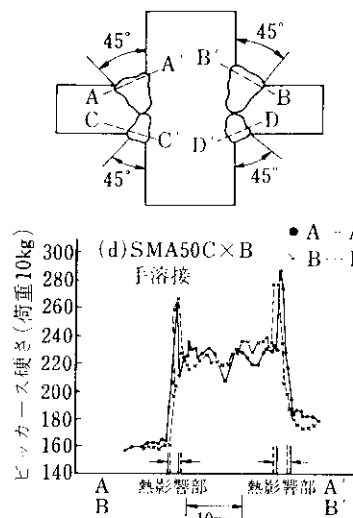


図 30-(d), (e) 十字型継手断面硬度試験結果

表 26 溶接材料および溶接条件

SMA58Q (t=50)	SMA50C (t=50)	SMA41C (t=50)	溶接姿勢	溶接法	電流(A)	電圧(V)	速度 mm/min
KS86Cu (4mmφ)	LBW-52 (4mmφ)	KS76Cu (4mmφ)	立 向	手 溶 接	130~150	20~22	70~90
LBW-62-28 (4mmφ)	LBW-52-28 (4mmφ)	KS78Cu (4mmφ)	水 平	サブマージ アーカ溶接	170~190	21~23	180~220
US-44(48mmφ)	US-36(48mmφ)	KW43(48mmφ)	水 平	サブマージ アーカ溶接	600~650	30~32	600~650
MF-38(20×200)	MF-38(20×200)	KB50Cu(20×200)					

(注)補強盛に使用する溶接棒は、本試験の立向姿勢に使用した溶接棒にて所定の位置まで盛り上げるもの。

### 3・6 スミ肉施工試験

この試験は、手溶接、サブマージアーク溶接方法でスミ肉溶接条件の適否を試験するものである。

試験片の形状を図31に示す。溶接姿勢は、手溶接では図32に示すように立向、水平姿勢の2姿勢とし、自動溶接では水平姿勢とする。またスミ肉溶接が完了したのち試験材の充填溶接（補強盛）は所定の位置まで行なう。溶接施工は表26に示す溶接条件で行なった。

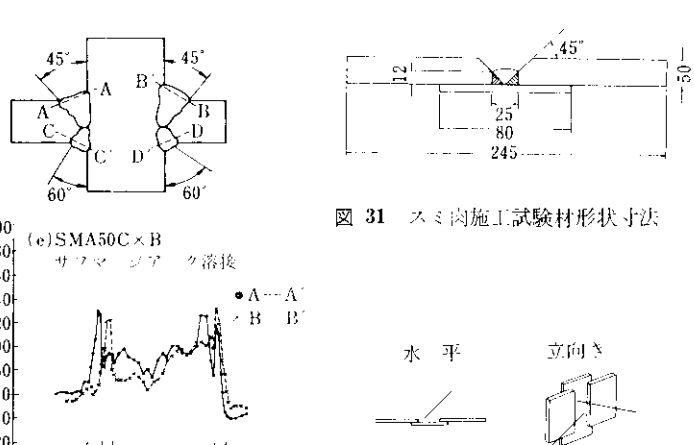


図 31 スミ肉施工試験材形状寸法



図 32 溶接姿勢

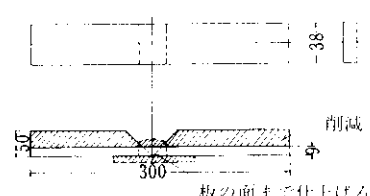


図 33 スミ肉溶接の機械試験片(裏曲げ試験片)形状寸法

## (1) 型曲げ試験

各試験材より採取した試験片素材を図33に示す。試験片形状寸法に加工し、JIS Z3122に従がい、スミ肉溶接側を下にして外側になるように曲げ（裏曲げ試験）表面の欠陥の有無を調べた。試験結果のまとめを表27に示すが、割れはまったく認められず良好な曲げ延性を示した。

## (2) 断面硬さ試験

断面硬さ試験については、図34に示す形状寸法の試験片を切り出し、図35に示す要領でピッカース硬さ荷重10kgにより、0.5mm間隔で測定した。結果を図36(a)～(c)に示す。硬さの最高値

表 27 スミ肉溶接型曲げ試験結果

溶接法 溶接姿勢	鋼種 $\mu_{\text{sp}}(\text{mm})$	測定項目		
		SMA58Q	SMA50C	SMA41C
手溶接	ワレの個数	0	0 1 3	0 0 1
立向	ワレ最大長さ(mm)	—	2	2
	ワレ発生位置	—	ボンド	ボンド
	プロホールの数(1)	0	0 0	0 2 0
手溶接	ワレの個数	0	1 0	0 0 0
水平	ワレ最大長さ(mm)	—	0.3	—
	ワレ発生位置	ボンド	—	—
	プロホールの数(1)	0	1 0 2 0	0 0 0 0
サブマージ	ワレの個数	0	0 0	0 0 0
アーチ溶接	ワレ最大長さ(mm)	—	—	—
水平	ワレ発生位置	—	—	—
	プロホールの数(1)	0	1 1 0 1 0	0 0 0 2

(注) 1) 曲げによって口を開き付近が変形しているがワレにまで発達していないものの数。発生位置は2例を除き他はすべてボンド近傍の溶着金属性である。

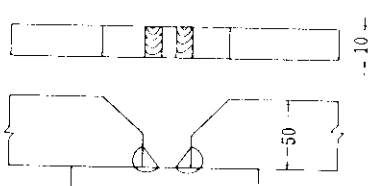


図 34 断面硬さおよび断面マクロ試験片形状寸法

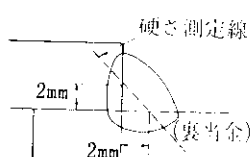


図 35 硬さ測定要領

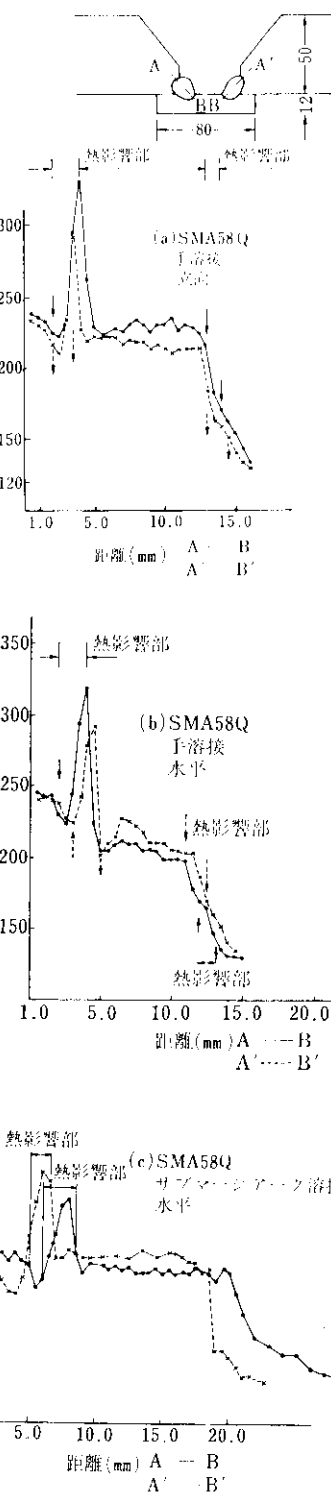


図 36 (a)(b)(c)スミ肉硬度試験結果

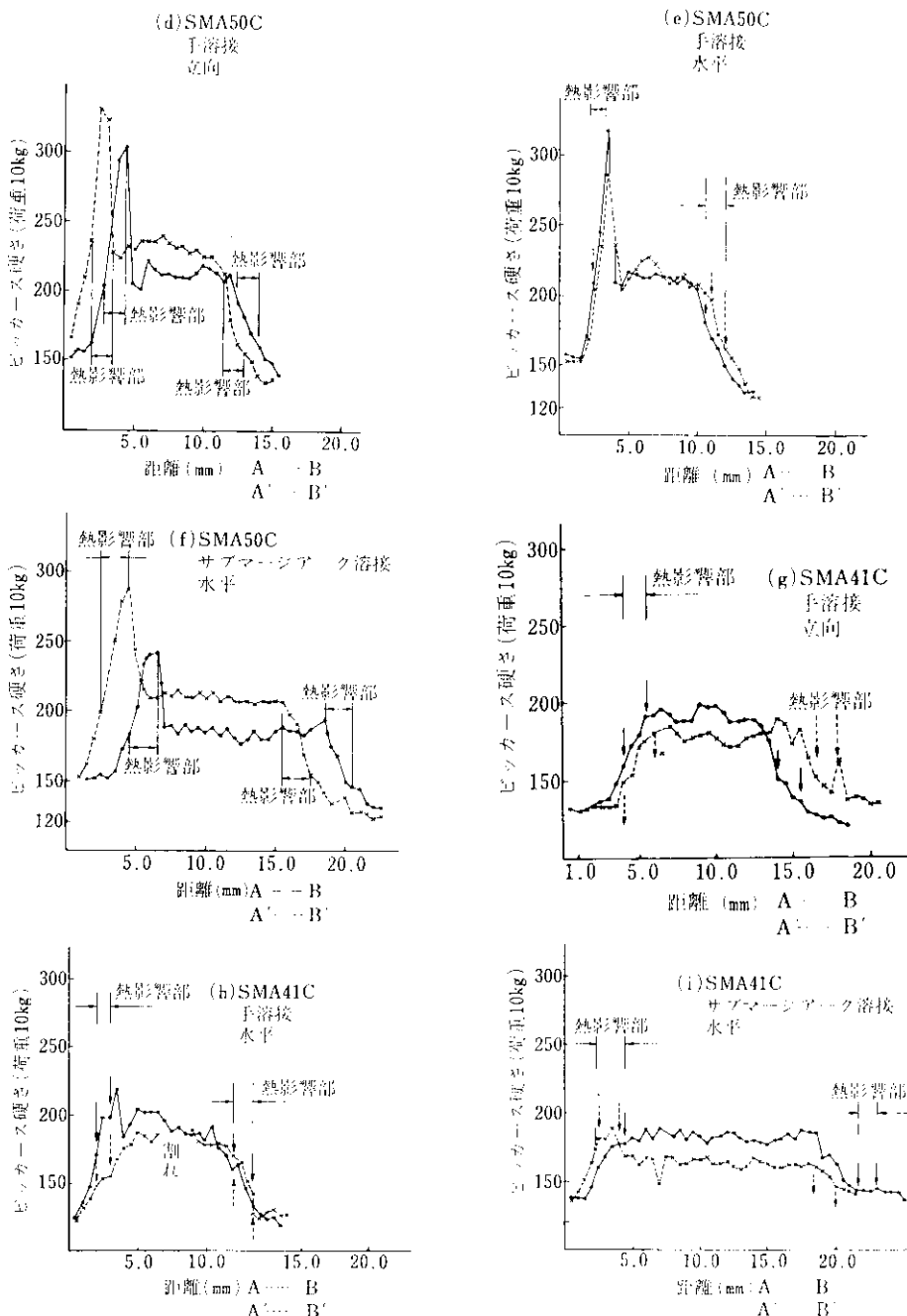


図 36 (d)(e)(f)(g)(h)(i)スミ内硬度試験結果

は試験材側の熱影響部ボンド近くにあり、その値は SMA58Q と SMA50C とではあまり変わらず手溶接でビックカース硬さ 320, サブマージアーク溶接で 290 であり、SMA41C では手溶接で 220, サブマ

ージアーク溶接では 190 であった。手溶接、サブマージアーク溶接ともビックカース硬さ 350 をはるかに下まわる値となっており問題はないといえる。真當金側に硬さのピークがでなかつたのは、寸法

の違いによる冷却速度の差のためと思われる。

### (3) 断面マクロ試験

図34のような試験片を切出し、溶接部の断面を研磨し、それを腐食したのち溶込み良否、欠陥の

有無を調べた結果を写真7(a), (b), (c)に示す。SMA41C手溶接に生じた割れは切断した面以外の所にスラグのまき込みがあり、そこから発生したクラックにより生じたものである。試験した範囲ではそれ以外に欠陥は認められなかった。

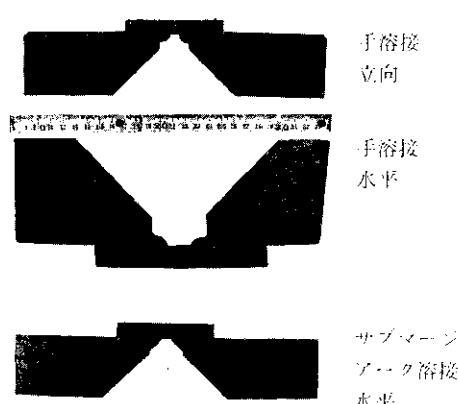
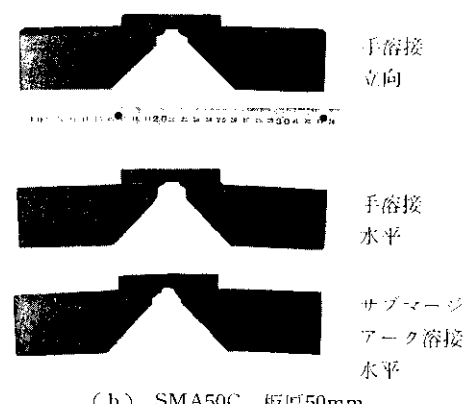
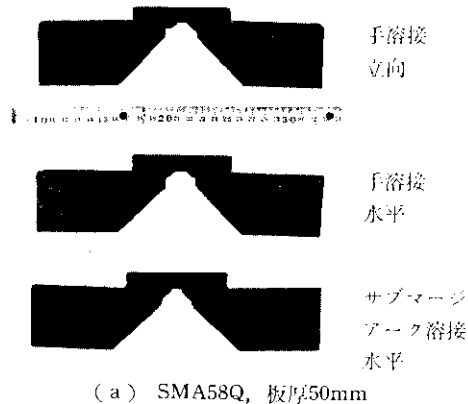


写真7 スミ内断面マクロ写真

### 3・7 交差部継手模型試験

実際の橋梁などの構造物においては、十字継手のフランジ材とウェブ材との交差角( $\theta$ )が $90^\circ$ とはならない場合も多々あるが、実際溶接施工上の困難性から判断すると、交差角度は $30^\circ$ 程度が限界と考えられる。したがって $\theta = 30^\circ$ となる交差部継手における溶接施工法の検討とその継手強度の確認を目的として、以下に示す模型試験を実施した。

供試材としては、板厚38および50mmのSMA58Aを用い、適用溶接方法は手溶接および消耗ノズル式エレクトロスラグ溶接の2方法を用いた。使用溶接材料は、手溶接ではKS86Cu(4φ, 5φ),

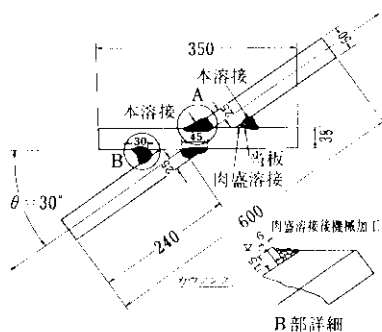


図37 手溶接における交差継手部の形状

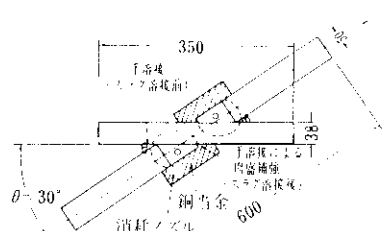


図38 消耗ノズル式エレクトロスラグ溶接における交差継手部の形状

消耗ノズル式エレクトロスラグ溶接ではES65 (3.2φ) × MF38 (12×65) を採用した。

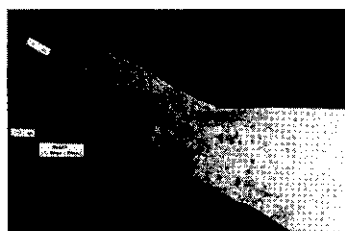
#### (1) 継手形状および溶接条件

継手形状は図37, 38に示すとおりであるが、手溶接継手では部分溶込み型としているが、溶接部のノド厚について



SMA58Q ( $t=38 \times 50$ )

写真8 手溶接交差部継手の断面マクロ



SMA58Q ( $t=50 \times 38$ )

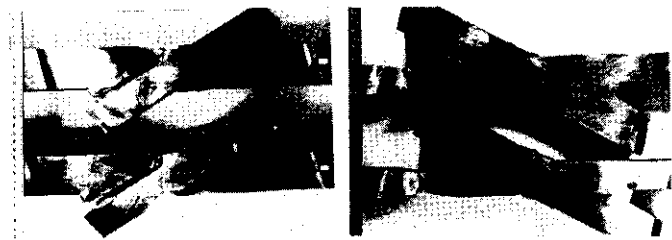
写真9 スラグ溶接交差部継手の断面マクロ

表28 手溶接による交差部継手の溶接条件

溶接部	ビード数	電流 (A)	電圧 (V)	速度 (mm/min)	溶接条件	
					径	種類
A 部	1 ~ 3	185	24	155 ~ 165	4mmφ	
	4 ~ 35	210 ~ 230	27 ~ 29	155 ~ 175	5mmφ	KS 80Cu
B 部	1 ~ 4	140 ~ 165	22 ~ 24	50 ~ 70	4mmφ	
	5 ~ 17	170 ~ 190	27 ~ 29	60 ~ 80	5mmφ	

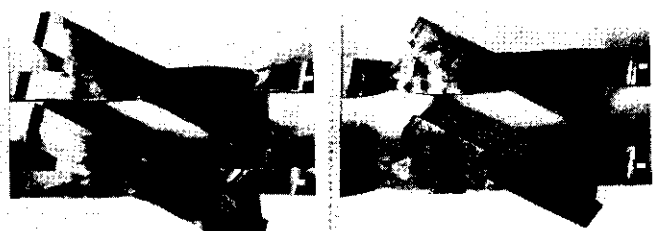
表29 消耗ノズル式エレクトロスラグ溶接および手溶接による交差部継手の溶接条件

溶接部	ビード数	電流 (A)	電圧 (V)	速度 (mm/min)	溶接条件
スラグ溶接部	1	600	45 ~ 48	11.4	3.2mmφ MF × 38 (12×65)
手溶接部	1 ~ 4	140 ~ 165	22 ~ 24	50 ~ 70	4.0mmφ KS86Cu
	5 ~ 8	170 ~ 190	27 ~ 29	60 ~ 80	5.0mmφ



SMA58Q ( $t=50 \times 50$ ) SMA58Q ( $t=38 \times 38$ )

写真10 手溶接交差部継手引張試験片の破断形状



SMA58Q ( $t=50 \times 50$ ) SMA58Q ( $t=38 \times 38$ )

写真11 消耗ノズル式エレクトロスラグ溶接交差部継手引張試験片の破断形状

表30 交差部継手引張試験結果

継手	板厚 (mm)	板厚		破断強さ (kg/mm <sup>2</sup> )	破断位置
		50	38		
手溶接継手	50	52.8			溶接部
	"	55.1			"
	38	73.2	母材		"
	"	71.6			"
消耗ノズル式エレクトロスラグ溶接	50	71.1			"
	"	70.7			"
	38	65.1			"
スラグ溶接継手	"	65.3			"

は母材厚さと同等（全強）という考え方を採用している。この場合の溶接条件を表28に、また継手の断面マクロ組織を写真8に示す。

また消耗ノズル式エレクトロスラグ溶接継手では完全溶込み型とし、溶接ビードの仕上り外観上問題となる趾端部は手溶接による化粧盛を併用している。この場合の溶接条件を表29に、継手の断面マクロ組織を写真9に示す。

#### (2) 継手引張試験結果

交差部の各溶接継手引張試験結果を表30、および写真10、11に示す。完全溶

込み溶接となるスラグ溶接継手では、板厚が38および50mmの場合に、いずれも母材部で破断しているが、手溶接継手では板厚50mmの場合には写真10に示すように溶接部破断を示し、しかも母材の引張強さ以下であった。したがって、交差部継手で良好な継手を得るためには完全溶込みとするか、あるいは全強以上のノド厚の確保が必要と考えられる。新埠頭連絡橋においては、完全溶込み溶接となるよう考慮しているので問題はないといえる。

#### 4. 総 括

耐候性高張力鋼を用いた溶接構造物を製作する場合においては、使用性能面で十分な構造強度が確保されるよう、注意しなければならない。とくに使用鋼材の溶接性や実際に適用する溶接施工条件に対する十分な検討が必要であることはいうまでもない。

このような観点に立って実施した本研究からは以下に示す施工に対する指針が得られた。

- (1) 鋼材の耐候性を付加する Cu, Cr などの合金成分の添加量は必要上最低限におさえる。
- (2) 溶接施工においては、割れ発生の防止に重点

をおき、とくに仮付溶接やスミ内溶接部の割れ発生に注意する必要がある。

- (3) 使用溶接棒の吸湿性を十分把握するとともに、現場における乾燥および取扱管理を徹底化させることが必要である。
- (4) 突合せ溶接は可能な限り、比較的入熱の大きいサブマージアーク溶接を使用して、割れ防止を計る必要がある。
- (5) 比較的狭隘な箱桁においては、予熱温度を下げても十分割れ防止を計るために、極低水素系溶接棒の使用が有効である。
- (6) 厚鋼板の溶接方法としては、消耗ノズル式エレクトロスラグ溶接法も十分適用性をもつていい。

以上の諸点について十分考慮を払うならば、耐候性鋼を用いた構造物といえども、製作時における割れ発生に対しては十分対処し得るとともに、継手の延性や切欠靭性などにおいても十分満足できる性能が得られるものと考えられる。

最後に、本研究を実施するに当って、有益なご助言、ご指導をたまわった京都大学小西教授、東京大学奥村教授に対して心から感謝の意を表する次第です。